

1975

BF₃

168783v Boron-fluorine bond moment in boron trifluoride from CNDO/2 calculations and infrared band intensities. De Mandirola, Olga B. (Fac. Cienc. Exactas Nat., Univ. Buenos Aires, Buenos Aires, Argent.). *An. Asoc. Quim. Argent.* 1975, 63(1), 1-7 (Eng). The effective bond moment for BF₃ mols. for the A" and E' modes were calcd. from ir intensities using the zero order theory. The CNDO/2 theory was used to calc. the hybridization contribution to the effective bond moment as -2.2 and -1.3 D for A" and E' modes, resp. The static bond moment was calcd. as 2.9 D for both modes.

Kb. Milt.
facetm

C.A. 1975. 83. N20

№ 4 - 8662

1975

~~BF₃~~

8 Д422. Анализ спектров комбинационного рассеяния симметричного волчка. Чисто вращательные спект-

ры $^{11}\text{BF}_3$. Freedman P. A., Jones W. Jeremy
The analysis of symmetric rotor Raman spectra the pure
rotational spectrum of $^{11}\text{BF}_3$. «J. Mol. Spectrosc.», 1975
54, № 2, 182—190 (англ.)

(м.н.)

XV

-

3

4

7

2

2

4

B4

4

8

Ф 1975 № 18

Изучены вращательные спектры комб. рас. молекулы $^{11}\text{BF}_3$ при возбуждении линией Ag^+ -лазера 488 нм. Установлено, что молекула имеет плоскую структуру с группой симметрии D_{3h} . Отмечено сильное перекрытие R - и S -ветвей, а также наличие низколежащих колебательных уровней, комб. рас. с которых надо учитывать. Для разделения перекрывающихся линий предполагалось, что их контур может быть описан суперпозицией доплеровского и лоренцевского контуров (учитывалось также преобразование, вносимое спектрометром). Процедура разделения необходима для правильного вычисления молекулярных постоянных. Получены значения $B_0 = 0,34502 \text{ см}^{-1}$, $D_J = 4,38 \cdot 10^{-7} \text{ см}^{-1}$, $D_{JK} = -9,1 \cdot 10^{-7} \text{ см}^{-1}$. Оценена длина связи $\text{B}-\text{F} = 1,31 \text{ \AA}$. Библ. 15. В. Б.

BF₃

Число -
кристалк
спектр

B90

X1975 N 16

16 Б223. Анализ спектров комбинационного рассеяния света симметричного волчка. Чисто вращательный спектр ¹¹BF₃. Freedman P. A., Jones W. Жегету. The analysis of symmetric rotor Raman spectra the pure rotational spectrum of ¹¹BF₃. «J. Mol. Spectrosc.», 1975, 54, № 2, 182—190 (англ.)

С помощью 5 вт Аг-ионного лазера на 1 м спектрофотографе с голограммич. дифракционной решеткой сфотографирован чисто вращательный спектр комбинац. рассеяния света ¹¹BF₃. Измерены частоты линий и проведена идентификация спектра с учетом эффектов центробежного искажения. Из анализа вращательного спектра определены постоянные центробежного искажения, усредненные для S- и R-ветвей: $D_J = 4,38 \pm 0,10 \times 10^{-7}$ см⁻¹, $D_K = 3,6 \pm 0,1 \times 10^{-7}$ см⁻¹, $D_{JK} = -9,1 \pm 1,0 \times 10^{-7}$ см⁻¹, а также определена вращательная постоянная $B_0 = 0,34502 \pm 0,00003$ см⁻¹. Полученные данные согласуются с результатами других авторов и с вычисленными из анализа ИК-спектров. Ввиду плоской симметрии BF₃, установленной по интенсивностям линий вращательного спектра, определен единственный структурный параметр молекулы: $r_z(B-F) = 131,10 \pm 0,01 \times 10^{-9}$ мм, к-рый очень хорошо согласуется с данными, полученными с помощью электронной дифракции.

С. Н. Мурзин

9664

Б223-8662

BF₃

Xu-8662

1975

(min)

147534d Analysis of symmetric rotor Raman spectra.
Pure rotational spectrum of boron-11 fluoride. Freedman,
P. A.; Jones, W. Jeremy (Dep. Phys. Chem., Univ. Cambridge,
Cambridge, Engl.). *J. Mol. Spectrosc.* 1975, 54(2), 182-90
(Eng). The pure rotational Raman spectrum of ¹¹BF₃ was
photographed. Great care was taken in the anal. to consider all
the unresolved components under each observed Raman line
profile. If this is ignored, systematic errors result. The final set
of mol. consts. obtained was $B_0 = 0.34502(\pm 3 \times 10^{-5})$, $D_J =$
 $4.38(\pm 0.10) \times 10^{-7}$, and $D_{JK} = -9.1(\pm 1.0) \times 10^{-7} \text{ cm}^{-1}$.

C.A. 1975-82. N22

51013.9152

Ph,Ch,DB,TC

96615

1975

BF₃ (см. пост)

3412

Isotani S. A study on constrained
methods for the evaluation of force
fields. "J. Mol. Struct.", 1975, 28,
N 1, 61-76
(англ.)

0467 ник

435 438

4 59

ВИНИТИ

51114.1288

Ch, TC, MGU

29857 фотозр.

BF_3 (γ) спектр

1975

*4-10415

Kroto Harold W., Lappert Michael F.,
Maier Michael, Pedley J. Brian, Vidal Maria
no, Guest Martyn F. The He I photoelect-
ron spectra of mixed boron trihalides
and the microwave spectrum of BC_1F_2 .
"J. Chem. Soc. Chem. Commun.", 1975, N19, 810-812
(АНГЛ.)

473 474

480

0488 мкм

ВИНИТИ

BT₃

011111, 4168

1975

BT₄

Kulkarni, K.S., et al

(paeret
BH. Cogia)

Tribulus T. panicoides
Appl. Phys., 1975, 13,
NII, 780-2.

(all Cf₃) III

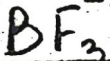
Журн. оргик. хим.

1975

50507.7646

29864

Ch, Ph, TC



*15-8935

Lloyd D. Robert, Roberts Peter J.,
Hillier Ian H. Electronic structure of
nitric acid studied by photoelectron spect-
roscopy and molecular orbital calculation.
"J. Chem. Soc. Faraday Trans.", 1975,
Part 2, 71, N 3, 496-503 (англ.)

335 338 0351 0359 ПИК ВИНИТИ

$B\bar{F}_3$

Макиб Т.Н.

1975

"Докл. АН СССР"

1975, 222, № 1, 151-154

спектор
помошь

f_{mn}

(на $Kr\bar{F}_2$; III)

BF₃

14 Б35. Исследование некоторых ионизированных и возбужденных состояний BF_3 ССП-Х α методом рассеянных волн. Pincelli U., Ravaldi R. MSX α study of some ionized and excited states of BF_3 . «Sci. natur. e mat. modena», 1975(1976), 106, 213—223 (англ.; рез. итал.)

1975(76)

*Электрон.
спефолине*

С помощью ССП-Х α метода рассеянных волн изучено электронное строение молекулы BF_3 . Для обменных параметров α взяты атомные значения Шварца. Расчеты проведены для нескольких значений отношения радиусов касающихся сфер. Вычисленные по методу переходного состояния энергии ионизации составляют 16,5 эв ($1a_2'$), 16,6 эв ($1e''$), 17,0 эв ($4e'$) и 18,1 эв ($1a_2''$) для верхних заполненных уровней (отклонения от эксперим. ПИ не превышают 1 эв, однако уровни $1e''$ и $4e'$ в расчете инвертированы по сравнению с экспериментом). По методу переходного состояния в спин-поляризованном варианте получены энергии первых синглетных переходов (11,6; 13,6; 14,5; 16,4; 16,6 и 17,4 эв). Проведено обсуждение природы соответствующих возбужденных состояний и сравнение результатов расчетов с УФ- и рентгеновскими спектрами BF_3 .

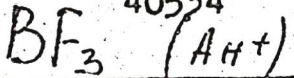
М. Гофман

X.1977. N/14

50812.7224

Ch, TC

40534



1975

3239

Pierce Robert C., Porter Richard F.

Ion-molecule chemistry of BF_3 and HBF_2
in hydrogen.

"Inorg.Chem.", 1975, 14, N 5, 1087-1093

(англ.)

0421 пик

404 404 4 1 9

ВИНИТИ

$B\bar{F}_3$

1975

Runtz G.R.

rb. mex.
picron

"Mol. Phys" 1975, 30, n^o,
129 - 146 (auus)

(au BH_3 ; $\frac{1}{11}$)

BF_3 , BCl_3 , BBr_3 , BJ_3

1975.

13 Б69. Изучение силового поля некоторых молекул и ионов типа XY_3 . Ramaswamy K., Kagnanapathi S. Force field study of some XY_3 type molecules and ions. «Acta chim. Acad. sci. hung.», 1975, 87, № 2, 129—135 (англ., рез. рус.)

Методом параметрич. представления силовых постоянных вычислены силовые постоянные, средние амплитуды колебания и постоянные кориолисова взаимодействия и центробежного искажения для молекул BX_3 ($X=F, Cl, Br, J$) и ионов NO_3^- , BO_3^{3-} и CO_3^{2-} . Показано, что параметр формы Φ для BBr_3 и BJ_3 составляет около 10° , а для остальных молекул и ионов от 20 до 29° .

М. Р. Алиев

X 1976 N 13

(46) 8

BF₃

* 05-11220

1975

5 Д213. Однозначное силовое поле для тригалогенидов бора. Ramaswamy K., Jayagaman L. Unique force field for boron trihalides. «Indian J. Phys.», 1975, 49, № 1, 1—8 (англ.)

Методом параметрич. представления силовых постоянных по эксперим. значениям частот колебаний изотоп-замещенных молекул и кориолисовых постоянных вычислены гармонич. силовые постоянные молекул BX_3 с $X = F, Cl$. Вычислены также постоянные четвертого порядка центробежного искажения и средние амплитуды колебаний этих молекул.

M. P. Алиев

(42)



Ф. 1976. N 5.

1975

 BF_3

* US-11220

 BCl_3 BBr_3

133305v Unique force field for boron trifluorides. Rangaswamy, K. Jayaraman, Ia (Dep. Phys., Annamalai Univ., Annamalainagar, India). *Indian J. Phys.*, 1975, 49(1), 1-8 (Eng.). The parameter representation method was used to fix the unique force field for BF_3 , BCl_3 and BBr_3 by fit to Raman frequencies and observed coupling constants. The parameter ϕ was $26^{\circ}16'$, 14° , 0° for BF_3 , BCl_3 and BBr_3 resp. Mean amplitude of vibration and rotational distortion constants were also calcd.

E. O. Pariser

(C.R. no. 51
u. n.)

+2 

C.A. 1975, 83, N.Y.

60503.7243

Ch, Ph, TC

40892

1976

BF₃

* 43-72608

Brunn Roy E., Bassi A.B.M.S.

The theoretical calculation of polar
tensors and dipole moment
derivatives: BF₃ and BC₁₃.

"J.Chem.Phys.", 1976, 64, N 7, 3053-3056
(англ.)

1685

591 592

597

ВИНИТИ

BF₃

1976

Burdett J. K.

Stewart and Bond. 31

Berlin. e.a. 1976, 67-105.

(real)

(all. BF_2 ; III)

Однчесе 4396 1976

BF₃

24 Б245. Постоянная центробежного искажения D_K молекул типа симметричного волчка. Duncan J. Lindsay. The centrifugal distortion constant D_K of symmetric top molecules. «J. Mol. Spectrosc.», 1976, 60, № 1—3, 225—238 (англ.)

Вычислены значения постоянных D_T , D_{TK} и D_K квартичного центробежного искажения молекул типа симм. волчка BF_3 , SO_3 , AH_3 , AF_3 ($A=N, P, As$), BH_3D ($B=C, Si, Ge$), CH_3X ($X=F, Cl, Br, J$), CH_3CN , CH_3CCH , $H_2C_3H_2$, C_3H_6 и ряда их изотопич. разновид-

ностей. При этом использованы лит. данные по значениям гармонич. силовых, постоянных и структурных параметров: для некоторых из этих молекул использованы вновь вычисленные силовые постоянные. Вычисленные значения D_T и D_{TK} (а для отдельных молекул и D_K) согласуются с эксперим. данными: расхождение не превышает 5%.

М. Р. Алиев

Х. 1986. № 24

ВР

BF_3

artucu 4396

1976

1976: 171587k The centrifugal distortion constant D_K of symmetric top molecules. Duncan, J. L. (Dep. Chem., Univ. Aberdeen, Old Aberdeen, Scot.). *J. Mol. Spectrosc.* 1976, 60(1-3), 225-38 (Eng). Centrifugal distortion consts. D_K were calcd. for the sym. top mols. BF_3 , SO_3 , NH_3 , PH_3 , AsH_3 , PF_3 , AsF_3 , MeD , SiH_3D , GeH_3D , $McCl$, $MeBr$, MeI , $MeCN$, $MeCCH$, $H_2C_2H_2$, cyclo-C₃H₂, and isotopic modifications thereof, in terms of their quadratic force consts. In all cases the force consts. used are reliably detd. by existing spectroscopic data. Where direct comparison is possible, good agreement with exptl. D_K values is found, and the calcd. consts. are considered reliable to $\sim \pm 5\%$.

(D_K)
(Koeffizienten
verzweigter
partieller
potenzieller
spektrenkonst.)

The consts. are intended to be of assistance in future spectroscopic and structural studies on the mol. listed. Structural applications to MeI , SiH_3 , and cyclopropane are considered.

● +13 (err. noted)

C.A. 1976 84 n24

B90 - 15745 - X11

SO_3	AsF_3
NH_3	$CH_3\delta$
PH_3	$SiH_3\delta$
AsH_3	$FeH_3\delta$
PF_3	CH_3Cl
	CH_3Br
	CH_3I
	CH_3CN

(коорд. генер.
расщепл., δ_K)

аннекса 4396 1976

BF₃

12 Д159. Постоянная центробежного искажения D_K молекул типа симметричного волчка. Duncan J. Lindsay. The centrifugal distortion constant D_K of symmetric top molecules. «J. Mol. Spectrosc.», 1976, 60, № 1—3, 225—238 (англ.)

Вычислены значения постоянных центробежного искажения D_J , D_{JK} и D_K молекул типа симметричного волчка BF_3 , SO_3 , AH_3 , AF_3 ($A=\text{N}, \text{P}, \text{As}$), BH_3D ($B=\text{C}, \text{Si}, \text{Ge}$), CH_3X ($X=\text{F}, \text{Cl}, \text{Br}, \text{J}$), CH_3CN , CH_3CSH , $\text{H}_2\text{C}_2\text{H}_2$, C_8H_6 и ряда их изотопич. разновидностей. При этом использованы литературные данные о значениях гармонич. силовых постоянных и структурных параметрах; для некоторых из этих молекул использованы вновь вычисленные силовые постоянные. Вычисленные значения D_J и D_{JK} (а для отдельных молекул и D_K) согласуются с эксперим. данными; расхождение не превышает 5%.

М. Р. Алиев

φ 1976 N 12 (46)

ВР - 15745-XII

BF₃

BCl₃

*кб. мех.
факт*

18 Б74. Теоретический расчет тензоров полярности и производных дипольных моментов: BF_3 и BCl_3 . В гипс Roy E., Bassi A. B. M. S. The theoretical calculation of polar tensors and dipole moment derivatives: BF_3 and BCl_3 . «J. Chem. Phys.», 1976, 64, № 7, 3053—3056 (англ.).

1976

Сопоставлены эксперим. и рассчитанные в рамках метода ППДП значения тензоров полярности (ТП) (см. РЖХим, 1975, 4Б419) для молекул BF_3 и BCl_3 . Предложен метод преобразования элементов ТП $\frac{\partial p}{\partial x_i}$ (пр-ных дипольного момента по декартовым координатам данного атома) к $\frac{\partial p}{\partial \theta_i}$ (пр-ных дипольного момента по нормальным координатам) и $\frac{\partial p}{\partial S_i}$ (пр-ных дипольного момента по координатам симметрии). Найдено, что расчет по методу ППДП удобен для выбора знаков элементов ТП $\frac{\partial p}{\partial \theta_i}$. Приведены значения эффективных зарядов ξ_α , средних значений пр-ных

х. 1976, 18



дипольных моментов \bar{p}_α и анизотропий β_α для атомов $\alpha = \text{B}$, F и Cl в молекулах BF_3 и BCl_3 . Эксперим. значения \bar{p}_F , ξ_F значительно больше, чем \bar{p}_{Cl} и ξ_{Cl} , в то время как β_F и β_{Cl} почти одинаковы, опытное значение β_B чувствительно к замене F на Cl . Рассчитанные значения \bar{p}_α , ξ_α и β_α для молекулы BF_3 достаточно хорошо согласуются с экспериментальными, для BCl_3 соответствие менее удовлетворительно.

Н. М. Клименко

BF₃

BCl₃

BBr₃

находит
электр.
строи.

X1976
N13

13 Б27. Расчеты тригалогенидов бора ССП X_α -методом рассеянных волн и сопоставление с их фотоэлектронными спектрами. Preston Nagy J. T., Kaufman Joyce J., Keller Jaime, Danese J. Вгуан, Connolly John W. D. MS- X_α calculations on boron trihalides and comparison with their photoelectron spectra. «Chem. Phys. Lett.», 1976, 37, № 1, 55–59 (англ.)

С помощью ССП X_α метода рассеянных волн проведены вычисления электронного строения тригалогени-

дов бора BX_3 ($X=F, Cl, Br, I$). Радиусы соприкасающихся ат. сфер выбраны пропорционально соотв-щим ковалентным радиусам. Обменные параметры α взяты по Шварцу (в межсферной области — взвешенные ср. значения). Приведены энергии ионизации, вычисленные по методу переходного состояния. Их порядок согла-суется с эксперим. отнесениями (за исключением близ-клежащих уровней $3e'$ и $1e''$, для к-рых расчет дает обратный порядок во всех случаях). Вычисл. и эксперим. ПИ согласуются в большинстве случаев в пределах 1 эв, причем согласие улучшается при переходе к более тяжелым галогенам.

М. Гофман

1976

3768

35

6571

172

47

BF₃

OTTAWA 3768

1976

BCl₃

BBr₃

B₃F₃

(y)

1976: 81860q MS-X α calculations on boron trihalides and comparison with their photoelectron spectra. Preston, Harry J. T.; Kaufman, Joyce J.; Keller, Jaime; Danese, J. Bryan; Connolly, John W. D. (Dep. Chem., Johns Hopkins Univ., Baltimore, Md.). *Chem. Phys. Lett.*, 1976, 37(1), 55-9 (Eng.). The multiple-scattering X α model was applied to the sequence of boron trihalides BX₃ where X = F, Cl, Br, and I. Transition state calcns. show good agreement with the exptl. ionization potentials measured by photoelectron spectra.



73



C.A. 1976. 84 n/2

отн. 3768

1976

BF₃

6 Д144. Расчеты тригалогенидов бора методом РВ-Х_α и сравнение с фотоэлектронными спектрами.

Preston Harry J. T., Kaufman Joyce J., Kel-
ler Jaime, Danese J. Bryan, Connolly
John W. D. MS-X^α calculations on boron trihalides

and comparison with their photoelectron spectra. «Chem.
Phys. Lett.», 1976, 37, № 1, 55—59 (англ.)

Методом рассеянных волн X_α, произведены расчеты потенциалов ионизации (ПИ) соединений бора типа BX₃ (X=F, Cl, Br, I). В каждом случае расчет производился только для одного переходного состояния, соответствующего удалению 1/2 электрона с некоторой валентной орбитали. Результаты расчета сравниваются с определенными экспериментально методом фотоэлектронной спектроскопии ПИ; расхождения не превышают 1 эв.

В. И. Барановский

(+3)

□

Ф 1976 № 6

BF₃

1976

Рядов M. A.: и пр.

(элекр. спеч.)
M. N.

Собрание
загадок в彤ных
науках. Вып. 2,
M. 1976, 131 - 8.

(all BF, III)

70613.350

75189

1977

Ph,Ch,TG

BF_3 (смл. и. д.н.) 07 5356

Alain Alain J. P., Eysel Hans H.

I-triangular matrices in the theory
of molecular vibrations."J. chim. phys.
et phys.-chim. biol.", 1977, 74, № 2, 143-
147 (англ., рез. Франц.).

0894 РНК

837 848 9 85

ВИНИТИ

BT₃

Lorum 5315 / 1977

Fontal B, et al.

Spectrochim. Acta, 1977,

33A, 507-15

(Raiate-crekip)
no. 18/July year.)

BF₃

ХЧ-18897

1977

10 Д211. Критерий усредненной потенциальной энергии. Силовые поля некоторых плоских XY₃- и тетраэдрических XY₄-молекул. Girijavallabhan C. P., Joseph K. Babu, Nair S. Sasidharan. Average potential energy criterion force fields of some planar XY₃ and tetrahedral XY₄ molecules. «J. Mol. Spectrosc.», 1977, 65, № 1, 142—146 (англ.).

Модель, основанная на усреднении потенц. энергии колебаний по нулевым колебаниям, применена для оценки силовых постоянных молекул BX₃ (X=F, Cl, Br, I), SO₃, CF₄, CCl₄, SiF₄, SiCl₄, OsO₄, RuO₄, TiCl₄, SnCl₄. Полученные значения силовых постоянных удовлетворят согласуются с их точными значениями. Показано, что минимизация усредненной потенц. энергии деформационных колебаний, по отношению к параметру смешения координат симметрии, является лучшим критерием для оценки силовых постоянных. Этот критерий приводит к таким же соотношениям между силовыми постоянными, как и модель регибридизации Линнета.

М. Р. Алиев

(+12) □

ф. 1977

N 10

$\text{BF}_3 \cdot 2\text{H}_2\text{O}$

1977

$\text{H}_3\text{O} \cdot \text{BF}_3\text{OH}$

87: 29724w Fluoroboric acid and its hydroxy derivatives--
solubility and spectroscopy. Maya, L. (Chem. Div., Oak
Ridge Natl. Lab., Oak Ridge, Tenn.). *J. Inorg. Nucl. Chem.*
1977, 39(2), 225-31 (Eng). The compn. of fluoroboric acid and
its hydroxy derivvs was studied in the H_3OBF_4 - HBO_2 - H_2O
system. Soly. isotherms were detd. at 25 and 65° . H_3BO_3 is the
equil. solid phase at high H_2O concns. whereas HBO_2 is the solid
phase at low H_2O concns. Dihydroxyfluoroboric acid is a
metastable species at 25° which disproportionates into $\text{H}_3\text{OBF}_3\text{OH}$
and HBO_2 . Trihydroxyfluoroboric acid does not exist in the
pure state. NMR, IR, and Raman spectra were obtained for
dihydroxyfluoroboric acid, $\text{BF}_3 \cdot 2\text{H}_2\text{O}$, and intermediate compns.
The fundamental vibrations in the Raman spectra of $\text{BF}_3 \cdot 2\text{H}_2\text{O}$
($\text{H}_3\text{OBF}_3\text{OH}$) are almost identical with those of an aq. soln. of
 NaBF_3OH . Dihydroxyfluoroboric acid appears to be tetrahedral.

C. A. K. P.

J.

C. A. 1977 87 n 4

BF_3

Omnitech 5792

1974

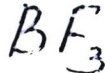
modulus

ν_i

Shimanouchi T.

J. Phys. Chem. and Ref. Data,
1977, 5, 995-1102.

1947



8 Б65. Пути диссоциации и молекулярные колебания. Коэффициенты влияния и координаты с минимальной энергией для BF_3 и SO_3 . Swanson B. I., Ralfko J. J., Rzepa H. S., Dewar M. J. S. Dissociative Pathways and Molecular Vibrations. Compliance Constants and Minimum Energy Coordinates for BF_3 and SO_3 . «J. Amer. Chem. Soc.», 1977, 99, № 24, 7829—7834 (англ.)

(исследование)
дс

С помощью расчётов коэф. влияния из данных по колебательным спектрам и расчетов по полуэмпирич. методу МПДП (модифицированное пренебрежение двухатомным перекрыванием) в приближении ССП исследованы пути с миним. энергией (ПМЭ) для мономолек. диссоциации SO_3 и BF_3 . Коэф. влияния рассчитаны по методу наименьших квадратов из частот, постоянных кориолисова взаимодействия, а также (в случае BF_3) из средних амплитуд колебаний. В методе МПДП, к-рый отличается от МЧПДП/З сохранением большого числа двухцентровых двухэлектронных интегралов и двухцентровых интегралов при-

(+)



х, № 1948

тяжения электронов оставами, для ряда фиксированных значений межъядерных расстояний $B-F$ и $S-O$ приведена минимизация энергии по отношению ко всем другим координатам. Из исследования координат с миним. энергией, полученных из спектроскопич. данных, сделан вывод о гетеролитич. характере ПМЭ на начальной стадии диссоциации, что приводит к образованию BF_2^+ и SO_2^+ , и ковалентном характере на последующих стадиях, когда образуются радикалы как термодинамически более выгодные продукты р-ции. Найдено, что ПМЭ для BF_3 , рассчитанный методом МПДО, в пределах изменения расстояния $B-F$ на 0,25 Å от равновесного значения расположён параллельно ПМЭ, вычисл. по колебательным данным. Показано, что при больших смещениях включение конфигурац. взаимодействия в расчеты по методу МПДО или использование неограниченного метода Хартри — Фока, приводит к увеличению вклада возбужденных ковалентных электронных конфигураций в волновую функцию. Обсуждены области применения расчетов координат путей с миним. энергией как модели для исследования путей диссоциации.

Ю. Н. Панченко

1948
 BF_3

5 Д366. Процессы фотоионизации вблизи порога.
Ч. II. Фотоэлектронные, фотоионизационные спектры и
спектры фотоэлектрон-фотоионных совпадений молеку-
лы BF_3 . Batten C. F., Taylor J. Ashley, Tsai
William R., Meisels G. G. Photoionization processes
at threshold. II. Threshold photoelectron, photoionization,
and coincidence ion-threshold photoelectron spectra of
 BF_3 . «J. Chem. Phys.», 1978, 69, № 6, 2547—2552
(англ.)

В области от порога ионизации ($\sim 15,6$ эв) до 19,7 эв
получены фотоэлектронные спектры и кривые эфек-
тивности фотоионизации газообразных молекул BF_3 .
Обнаружены четыре полосы, соответствующие образо-
ванию молекулярного иона BF_3^+ в нижних электрон-
ных состояниях. Относит. интенсивности полос, за ис-

*Фотоэл.
спектр*

оп. 1949/15

ключением, второй, согласуются с ранее полученными в HeI-фотоэлектронном спектре. Вертикальные потенциалы ионизации молекулы BF_3 равны (в эВ): 15,96; 16,7; 17,12, и 19,181. Анализ тонкой структуры полос позволил высказать предположение о существенном изменении геометрии молекулы при photoионизационных переходах в три первые состояния иона. Методом фотоэлектрон-фотоионных совпадений установлено, что стабильный ион BF_3^+ образуется только при переходе в основное состояние (ниже $\sim 16,62$ эВ). Результаты сопоставлены с данными других авторов. Библ. 18. Ч. I. См. Batten C. F. et al., «J. Chem. Phys.», 1976, 65, 3316.

М. Т.

BF_3

1948

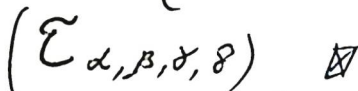
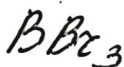
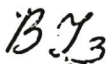
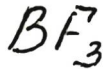
Chinnappan V. G. et al

Indian J. Pure and Appl.
Phys., 1948, 16, n⁴, 668-672.

Mr. M. V. I.

(con. H_2O ; II)

1949



C.A. 1949, 90, N2

90: 12630b Direct calculation of centrifugal distortion constants and inertia defects of flat molecules of XY_3 type from experimental data. Pulin, V. F.; Kredentser, E. I.; Sverdlov, L. M. (Sarat. Politekh. Inst., Saratov, USSR). *Izv. Vyssh. Uchebn. Zaved., Fiz.* 1978, 21(8), 110-12 (Russ). A simple direct method is proposed for calcg. consts. of centrifugal distortion $r_{0,1,2}$ and inertia defects of flat sym. XY_3 -type mols. by using exptl. Coriolis coeffs. of frequencies and geometric parameters. The calcs. were performed on BF_3 , BCl_3 , Bl_3 , $BBra$, and SO_3 .

+4

BF₃

1978

✓ 2 Д192. Прямое вычисление постоянных центробежного искажения и дефектов инерции плоских молекул типа XY₃ из экспериментальных данных. Пули В. Ф., Креденцер Е. И., Свердлов Л. М. «Изв. вузов. Физика», 1978, № 8, 110—112

*расчет
постоян.
центрот.
искажен.*

Предлагается простой прямой метод вычисления постоянных центробежного искажения $\tau_{\text{авт}}$ и дефектов инерции плоских симметричных молекул типа XY₃ из эксперим. частот кориолисовой постоянной ζ_{33} и геометр. параметров. Приводятся расчетные ф-лы и результаты расчета молекул BF₃, BCl₃, BJ₃, BBF₃ и SO₃.

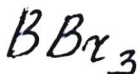
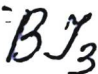
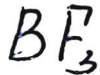
Резюме

(+4) □



9.1979.2

1978



(и.н)

(+4)

х. 1979 г. в.

в 183.) Прямое вычисление постоянных центробежного искажения и дефектов инерции плоских молекул типа XY_3 из экспериментальных данных. Пулин В. Ф., Креденцер Е. И., Свердлов Л. М. «Изв. вузов. Физика», 1978, № 8, 110—112

Предлагается простой прямой метод вычисления постоянных центробежного искажения $\tau_{авт}$ и дефектов инерции плоских симм. молекул типа XY_3 из эксперим. частот кориолисовой постоянной ζ_{33} и геометрич. параметров. Приводятся расчетные ф-лы и результаты расчета молекул BF_3 , BCl_3 , BJ_3 , BBr_3 и SO_3 . Резюме

BF₃

1979

18 Б9. Образование жестких молекул из фрагментов. Boyle L. L. The formation of rigid molecules from fragments. «Mol. Phys.», 1979, 37, № 3, 855—862 (англ.)

Предложен метод определения разрешенных по симметрии состояний жесткой молекулы, образованной из двух или трех тождественных фрагментов в одинаковых электронных состояниях. Метод является обобщением правил Вигнера—Витмера на случай произвольных молек. фрагментов, обладающих заданной точечной группой симметрии, и основан на использовании соотношений между группой симметрии фрагментов и группой симметрии всей молекулы. В кач-ве примера рассмотрено построение возможных типов электронных состояний для молекулы BF₃.

Б. И. Жилинский

*Делегр.
Составлен*

Х:1979/18

BF_3

Lommel 8327 / 1979

Kb. neex.
fischer,
E

Castro E.A.
Int. J. Quant. Chem.,
1979, 15, 355-358.

1979

B.F.

Chellam C. E., et al

racemous
cucurbix
noconcentrate

Z. phys. Chem. (DDR)
1979, 260, N1, 47-80



coll. CH₄-III

0т. 8053

1979

BF₃

10 Д421. К вопросу о чисто вращательном спектре
 BF_3 в основном вибронном состоянии. Кёррел
 Horst, Coulson C. A. On the pure rotational spectrum
 of BF_3 in its vibronic ground state. «J. Mol. Spectrosc.»,
 1979, 75, № 1, 64—69 (англ.)

Рассчитаны частоты и интенсивности линий враща-
 тельного спектра BF_3 , индуцированного центробежным
 возмущением, при т-рах 200 и 293° К и давлении 1 атм.
 Индуцированный вращательный спектр состоит из ли-
 ний, соответствующих правилам отбора $\Delta J=0\pm 1$ и
 $\Delta K=\pm 3$. Линии, обладающие максим. интенсивностью,
 лежат в области $20-40 \text{ см}^{-1}$. Если предположить, что
 контур линий является лоренцевым с полушириной
 $0,05 \text{ см}^{-1}$, то их интенсивность в максимуме достигает
 $3 \cdot 10^{-5} (\text{моль/л})^{-1} \text{ см}^{-1}$ при т-ре 293° К. Рассмотрена
 закономерность распределения интенсивности по отдель-
 ным линиям в спектре. Библ. 31.

Н. Филиппов

Ф 1979/110

BF_3

Ommeck 8053 } 1979

90: 159496w On the pure rotational spectrum of boron trifluoride in its vibronic ground state. Koeppel, Horst; Coulson, C. A. (Phys.-Dep., Tech. Univ. Muenchen, Garching, Ger.). *J. Mol. Spectrosc.* 1979, 75(1), 64-9 (Eng). The centrifugally induced pure rotational absorption spectrum of BF_3 in its vibronic ground state was computed using the theory of J. K. G. Watson (1971). The max. absorption of order 10^{-5} (mol/L)¹ cm⁻¹ occurred in a frequency region ~ 30 cm⁻¹. Due to the coincidence of the Q and R branches the full spectrum exhibits an intensity alternation of the individual lines which is not present in the case of T_d mols. studied previously; it could facilitate the exptl. detection of the spectrum.

spacegam.
no cm.

C.A. 1979, 90, 1120

BF₃

Фотоаппарат 8053

1979

20 Б217. О чисто вращательном спектре BF_3 в основном колебательном состоянии. Körrel Horst, Coulson C. A. On the pure rotational spectrum of BF_3 in its vibrionic ground state. «J. Mol. Spectrosc.», 1979, 75, № 1, 64—69 (англ.)

На основе теории Уотсона и принятых оценок вычислен чисто вращательный спектр поглощения $^{10}\text{BF}_3$ при $T=293\text{ K}$ в области частот от 15 до 45 cm^{-1} в основном колебательном состоянии, вызванный эффектом центробежного искажения. При давл. $P=1\text{ atm}$ максим. поглощение достигает величины $\sim 10^{-6}\text{ см}^{-1}$. Максимум поглощения приходится на область частот между 20 и 40 cm^{-1} . Результаты расчетов хорошо согласуются с данными Алиева и Михайлова, ранее проведшими вычисления тем же методом (Aliev M. R., Mikhailov M. V.).

Х. 1979, № 20

lov V. M., «Opt. Spectrosc.», 1973, 35, 147). Обсуждается возможность эксперим. обнаружения спектра излучения $^{10}\text{BF}_3$.

С. Н. Мурзин

BF_3

Lennarca 9/25/

1979

37916

Karaikalithi S

C.M.S. 120-CF.

II

Bull. Soc. chim. Belg.

1979, 88 (9), 653 - 653

BF₃ Отмск

9125

1979

11 Б198. К расчету изотопных частот и силовых постоянных параметрическим методом. Кагипапи-
 thi S. On the calculation of isotopic frequencies and force constants by parametric method. «Bull. Soc. chim. belg.», 1979, 88, № 9, 653—655 (англ.)

По аналогии с работой Иорданова и Николовой
(Jordanov B., Nicolova B. «J. Mol. Struct.», 1973, 15,
) предложено использовать одну и ту же ортогональную матрицу С в общем выражении для матрицы форм колебаний как основной, $L=L_0=C$, так и изотопной, $L^*=L_0^*=C$, молекул. Исходные матрицы форм колебаний L_0 и L_0^* получены в виде нижних треугольных матриц путем разл. соотв-щих матриц кинематич. коэф. G и G^* . Рассмотрено применение такого подхода к пло-

сил. час.

Д.

1

Б

2.1980.111

ским молекулам типа Al_3^- (матрицы 2-го порядка). Путем варьирования в пределах от -90 до $+90^\circ$ углового параметра, входящего в матрицу собственных вращений C , рассчитаны наборы частот изотопных молекул $^{10}\text{BF}_3$, $^{10}\text{BCl}_3$, $^{10}\text{BV}_3$, $^{10}\text{BJ}_3$, $^{10}\text{BO}_3^{3-}$, $^{14}\text{N}^{18}\text{O}_3^-$, $^{15}\text{N}^{18}\text{O}_3^-$ и $^{15}\text{N}^{16}\text{O}_3^-$. Из полученных наборов частот отобраны по две пары частот и соотв. паре значений углового параметра, отвечающих правильному и обратному отнесению частот. Результаты расчетов приведены в виде значений углового параметра, изотопных частот колебаний и наборов силовых постоянных.

Ю. Н. Панченко

BF_3

1979
Liegner C., et al.

pacer
(y)

Theor. chim. acta,
1979, 52 (2), 103-111.



(ass. HF; II)

Онлайн 8262

1049

BF_3

BCl_3

BBr_3

BY_3

12 Д164. Квадратические силовые постоянные для тригалогенидов бора. Quadratic potential functions for the boron trihalides. Rafalko J. J., Rzepa H. S., Swanson B. I. «J. Mol. Spectrosc.», 1979, 75, № 3, 363—367 (англ.)

По эксперим. данным для частот колебаний (включая изотопич. частоты) и постоянных кориолисова взаимодействия вырожденных колебаний вычислены силовые постоянные и коэф. влияния для молекул BX_3 с $X = F, Cl, Br, I$. Расчет коэф. влияния выполнен также полуэмпирич. методом MO и получено удовлетворительное согласие между результатами двух расчетов.

М. Р. Алиев

М.Р.; СС.1-12085.

☒

Ф. 1979 № 12

mmuca 8262

1940

BF_3

BCl_3

Cert. recd.

90: 212446h Quadratic potential functions for the boron trihalides. Rafalko, J. J.; Rzepa, H. S.; Swanson, B. I. (Chem. Dep., Univ. Texas, Austin, Tex.). *J. Mol. Spectrosc.* 1979, 75(3), 363-7 (Eng). General quadratic compliance consts. were evaluated for the B trihalides by using frequency data and Coriolis coupling consts. obtained from a variety of sources. Coriolis data from band contour anal. are too imprecise to help det. the E' symmetry potential consts. Solns. obtained by Cyvin's (Cyvin, S. J., 1968) Coriolis consts. appear to be reasonable on the basis of trends in the valence compliants and interaction displacement coordinates. The semiempirical SCF-MO scheme MNDO was employed to established prior constraints of the interaction displacement coordinates in the est. of the quadratic potential consts. for BF_3 and BCl_3 .

(71)

C.A. 1949, 90N26

оттиск 8262

1979

BF₃

1 Б40. Квадратичные потенциальные функции для тригалогенидов бора. Rafalko J. J., Rzera H. S.,

BCl₃

Swanson B. I. Quadratic potential functions for the boron trihalides. «J. Mol. Spectrosc.», 1979, 75, № 3, 365—367 (англ.)

BB₃

Проведен расчет квадратичных силовых постоянных для BF₃, BCl₃, BB₃ и B₃, использующий экспериментальные значения частот и постоянных кориолисова взаимодействия, ζ . Рассмотрено несколько независимых наборов ζ -постоянных. Для BF₃ и BCl₃ выполнен также полуэмпирический расчет силовых постоянных в рамках модифицированного метода пренебрежения двухатомных дифференциальным перекрыванием. Отмечено, что для BF₃ и BCl₃ наилучшая оценка силового поля получена с помощью полуэмпирического расчета. Для молекул BB₃ и B₃ более предпочтительным является силовое поле, найденное при использовании данных Сивина по постоянным кориолисова взаимодействия.

Б. И. Жилинский

(42)

Х. 1980. N1

BF_3

1949

Sellers H.L., Schäfer L.

J. Mol. Struct., 1949, 59,
econ. noem. nL, 117-128.

(econ. H_2O ; III^-)

BF_3

Lommel 8837

1979

Toscell J. A.

paper
J. Phys.
Chem. Phys. Lett.
1979, 67 (2,3), 359-64

BF_3

Spiridonov V.P., Zasoren E.Z., 1979

Modern high-temperature electron diffraction.

10th Materials Research Symposium
on characterization of high tem-
perature, vapors and gases.

NBS Special Publication 561.

Volume 1, 1979, 711-756.

(y Typewritten)

(2*v*_i, *v*_e,
cm.⁻¹)

BF3

Gingerich R.A., 1980
Current Topics in Materials
Science, Volume 6, edited by
Kaldes E.
North-Holland Publishing
Company, 1980.
(ecms ommuck 6 kopalke
ommuckob ● gingerich).

1980

BF_3

Jug K, et al.

Theor chim. acta, 1980,
57, № 2, 131-44

KB. MEX.
PAOLI, Y;
M. CHENG

card FH-II

BF_3

omega 9955

1980

BCl_3

BBr_3

BCl_2Br

BClBr_2

VO2: 169363f Measurement of boron trihalide electron affinities: correlation with boron-nitrogen adduct strengths. Rothe, Erhard W.; Mathur, B. P.; Reck, Gene P. (Res. Inst. Eng. Sci., Wayne State Univ., Detroit, MI 48202 USA). *Inorg. Chem.* 1980, 19(1), 829-31 (Eng). The adiabatic electron affinities of several B trihalides were measured from the detn. of threshold kinetic energies for the reaction $\text{Cs} + \text{BX}_3 \rightarrow \text{Cs}^+ + \text{BX}_3^-$. A crossed-mol.-beam app. was used. The electron affinities are <0.0, 0.33, 0.69, 0.94, and 0.82 eV for BF_3 , BCl_3 , BCl_2Br , BClBr_2 , and BBr_3 , resp., with an error est. of about ± 0.2 eV. These electron affinities are used to obtain B-N bond energies for adducts of B trihalides with Me₃N by using an ionic energy cycle. Values are compared to direct measurements and to those estd. from NMR shift measurements.

(A⁻)

(+3)



CA 1980 92 N20

отмечи 9955

1980

BF_3

BCl_3

Re ,

(f3)



21 Б88. Измерение энергий сродства к электрону для тригалогенидов бора: корреляция со стабильностью аддуктов, обладающих связью бор — азот. Rothe E. W., Mathur B. P., Reck G. P. Measurement of boron trihalide electron affinities: correlation with boron-nitrogen adduct strengths. «Inorg. Chem.», 1980, 19, № 4, 829—831 (англ.)

Методом скрещенных молек. пучков измерены пороговые значения кинетич. энергий атомов Cs в реакциях $Cs + BX_2Y \rightarrow Cs^+ + BX_2Y^-$ ($X, Y = F, Cl, Br$). Из полученных эксперим. данных рассчитаны с точностью $\pm 0,2$ эВ адиабатич. энергии сродства к электрону для BF_3 , BCl_3 , $BCl\cdot Br$, $BClBr$, и EBr , оказавшиеся >0 ; $0 - 0,33 - 0,59$, $0,94$ и $0,84$ эВ соотв. Эти величины использованы при расчете энергий связи B—N в аддуктах тригалогенидов бора с Me_3N . Применяемый при вычислениях энергетич. цикл включал образование ионов BX_2Y^- и Me_3N^+ , оценки энергий связи к-рых основывались на простейшей электростатич. модели. Обсуждены основные преиму-

Х. 1980 № 21

щества и недостатки использованной ионной схемы энергетич. цикла по сравнению с др. схемами. Проведено сопоставление полученных результатов с данными прямых экспериментов по измерению энергии связи В—N и с оценками на основе данных ЯМР спектроскопии.

О. А. Басченко

(^{ГОП}
Л

BF_3

1981

10 Б109. Фотоэлектронные спектры с возбуждением
 He-II (30,4 нм) органических молекул. Часть V. Гетеро-
 соединения, содержащие элементы второго периода
 (C, H, B, N, O, F). Asbrink Leif, Svensson Ag-
 neta, Von Niessen Wolfgang, Bieri Gehr-
 hard. 30,4-nm He(II) photoelectron spectra of organic
 molecules. Part V. Hetero-compounds containing first-row
 elements (C, H, B, N, O, F). «J. Electron. Spectrosc.
 and Relat. Phenom.», 1981, 24, № 3, 293—314 (англ.)

Измерены фотоэлектронные спектры (ФЭС) молекул
 BF_3 , B_2H_6 , CFN , CH_3NO , CH_3NO_2 , $\text{C}_6\text{F}_5\text{N}$, $\text{C}_2\text{HF}_3\text{O}_2$,
 $\text{C}_2\text{H}_5\text{F}_3\text{NO}$, $\text{C}_5\text{F}_3\text{N}_3$, $\text{C}_3\text{H}_3\text{NO}$, $\text{C}_3\text{H}_5\text{NO}$, $\text{C}_4\text{F}_2\text{O}_3$, $\text{C}_4\text{F}_3\text{N}$,
 $\text{C}_5\text{H}_5\text{N}$ и $\text{C}_6\text{H}_4\text{O}_2$. Интерпретация ФЭС основана на рас-
 четах энергий ионизации валентных MO многочастич-
 ным методом функций Грина. Часть IV см. J. El.
 Spectr. Relat. Phenom., 1981, 23, 281. И. А. Тополь

Фотоэлектр.
спектр



X. 1982, 19, N10.

BF_3

dekkerck 12815

1981

Bohm M.C., Gleiter R.

одзоп,
метал.
расши.
металлы.
доказан,
разработан

Theor. chim. acta, 1981,
59 (2), 153 - 149.

BF_3

1981

Brunel Y., et al

J. chim. phys. et phys.-chim.
biol., 1981, 78, n°2, 119-125

● (acq H₂) III

BF_3

Ottawa 11551 1981

SnCl_4

SbBr_3

CONFIDENTIAL,
CUST. NO. 1.

Ji

(+2)

C.A. 1981, 95 N4

Отмеч 11559

1981

BF_3

$SnCl_4$

$SbBr_3$

Сил. посіг.
гомоизотр
ч.н.; ν_i

9.10.1981

10 Д396. Гармонические силовые поля BF_3 , $SnCl_4$ и $SbBr_3$, определенные при сопоставлении ~~данных~~ электронной дифракции и колебательной спектроскопии. The harmonic force fields of BF_3 , $SnCl_4$ and $SbBr_3$ obtained by the joint use of electron diffraction and vibrational spectroscopy data. Gershikov A. G., Spiridonov V. P. «J. Mol. Struct.», 1981, 73, 91–98 (англ.)

Проведен теоретич. анализ гармонических силовых полей молекул BF_3 (I), $SnCl_4$ (II) и $SbBr_3$ (III) путем сопоставления данных электронной дифракции и колебательных спектров I—III. Предположено, что молекулы I и II обладают плоской и тетраэдрич. структурой соответственно. Определены значения силовых постоянных связей I—III с использованием формализма численного решения по методу наименьших квадратов. Параметры обобщенного гармонич. силового поля III определены на основании данных электронной дифракции и колебательных спектров газообразного

(+2)

III. Показано, что использование общих параметров при анализе данных электронной дифракции и спектров комб. рас. и ИК-поглощения I и II позволяет повысить точность определения параметров и силовых полей этих молекул, а также оценить перспективы использования метода электронной дифракции для установления молекулярных силовых полей и частот колебаний исследуемых молекул. Библ. 60. И. В. А-

нны
сим

BF_3

$SnCl_4$

$SbBr_3$

Сер. 120СГ.

(42)

Х. 1981 № 17

Отиск 11551

1981

17 Б136. Гармонические силовые поля BF_3 , $SnCl_4$ и $SbBr_3$, полученные при совместном использовании данных электронографии и колебательной спектроскопии. Gershikov A. G., Spiridonov V. P. The harmonic force fields of BF_3 , $SnCl_4$ and $SbBr_3$ obtained by the joint use of electron diffraction and vibrational spectroscopy data. «J. Mol. Struct.», 1981, 73, 91—98 (англ.)

На примере BF_3 и $SnCl_4$ изучены возможности недавно разработанной методики совместного анализа данных электронографии и колебательной спектроскопии, основанной на использовании силовых постоянных гармонич. приближения в кач-ве уточняемых параметров. С помощью этой методики уточнено обобщенное силовое поле $SbBr_3$ с использованием данных электронографии и недавнего измерения колебательного спектра в газовой фазе.

В. Спиридовон

BF_3

оттиск 13а02

1981

8 Б248. Измеренные и предсказанные модельные параметры полосы $BF_3(v_3)$ при высоких температурах. Gersh Michael E., Bernstein Lawrence S., Peterson Lauren M. Measured and predicted band model parameters of $BF_3(v_3)$ at high temperatures. «J. Quant. Spectrosc. and Radiat. Transfer», 1981, 26, № 5, 411—429 (англ.)

Измерены коэф. ИК-поглощения для полосы v_3 молекулы BF_3 при высоких т-рах. Описаны два варианта аппаратуры и методики определения коэф. поглощения BF_3 . Первый метод заключается в измерении ИК-поглощения в проточном реакторе с нагревом газовых смесей вплоть до 1500 К (для BF_3 —Ar). Измерения проводились в условиях аэродинамически ограниченного потока с использованием многоходовой безоконной ИК-ячейки. Второй метод основан на измерении испускания и поглощения BF_3 в пламени при

Di, M. N.

X. 1982, 19, № 8

2400 К. Проанализирована т-рная зависимость контура полосы v_3 BF_3 в интервале т-р от комн. до 2400 К. Предложен обобщенный формализм для расчета усредненного коэф. поглощения полосы s/d и усредненной по полосе плотности линий $1/d$ для перпендикулярных полос молекул типа MeF_3 . С. Б. Осин

BF_3

оттиск 13002 1981

4 Д520. Предсказанные и измеренные модельные параметры полосы BF_3 (v_3) при высоких температурах.
Measured and predicted band model parameters of BF_3 (v_3) at high temperatures. Gersh Michael E., Bernstein Lawrence S., Peterson Lauen M. «J. Quant. Spectrosc. and Radiat. Transfer», 1981, 26, № 5, 411—429 (англ.)

ИК спектр
новизнен

Получены спектры ИК-поглощения BF_3 в газообразном состоянии в ~~области~~ колебательной полосы v_3 BF_3 . Измерения велись в газовом потоке при т-рах 295, 585, 870, 1150 и 1440 К. Получен также спектр испускания BF_3 в той же области частот в газовом потоке при т-ре 2400 К. Эксперим. контур исследованной полосы сопоставлен с расчитанным при помощи модельных параметров S/d (усредненная интенсивность) и I/d (средняя плотность линий), вычисленных по ф-лам для полос перпендикулярных колебаний молекул MX_3 типа симметричного волчка. Для всех т-р наблюдается хо-

ф. 1982, 18, № 4.

ропшее согласие расчета с экспериментом. Произведен
учет спиновой статистики ядер. Отмечено, что учет спи-
новой статистики оказывает заметное влияние лишь на
величину параметра U/d при нулевых спинах ядер.
Библ. 52. Н. Филиппов

BF_3

1981

95: 209827f Ab initio calculations of the π -bond contribution in trifluoroborane and trichloroborane. Kosmus, Walter; Kalcher, Kurt (Inst. Anorg. Anal. Chem., Karl-Franzens-Univ. Graz, A-8010 Graz, Austria). *Monatsh. Chem.* 1981, 112(10), 1123-S (Ger). Ab initio gradient calcns. were performed on BF_3 and BCl_3 to evaluate the π -contribution in these compds. The influence of the basis set was studied for BF_3 . For BCl_3 , the π -contribution is smaller than for BF_3 .

meopen
pacet



C.A. 1981, 95, n24

BF₃

1981

) 5 Б24. Неэмпирические расчеты вкладов π-связей в BF_3 и BCl_3 . Kosmus W., Kalcher K. Ab-initio-Berechnungen des π-Bindungsbeitrages in BF_3 und BCl_3 . «Monatsh. Chem.», 1981, 112, № 10, 1123—1128 (нем.)

С помощью градиентного метода Пулаи рассчитаны полные энергии и π-электронные энергии молекул BF_3 (I) и BCl_3 (II) в различных сгруппированных гауссовых базисах двухэкспонентного типа. Полученные результаты сопоставлены с данными ранее проведенных расчетов, в том числе в миним. базисе и полуэмпирич. расчетов. Исследовано влияние базисного набора на полную и π-электронную энергию молекулы I. Отмечено аномально сильное изменение π-электронной энергии и малое изменение полной энергии при переходе от миним. базиса к расширенному базисному набору [(9,5)/[5,3] для B, (13,8)/[5,3] для F и (13,10)/[6,5] для Cl]. Указаны наиболее вероятные значения π-электронной энергии. Результаты расчета обсуждены в

*Кв. метод
расчет*

ЛХ

41

X. 1982, 19, N5.

терминах поляризуемости валентных электронов атомов галогенов, перекрывания их орбиталей с p_z -орбиталями атомов бора и к-тности в ряду BBr_3 , II и I.

Ю. Н. Панченко



BF₃

en. 16045

Отпечаток 12721 1981

8 Д136. Исследование геометрического строения и деформационных колебаний молекул трифтоторидов и трихлоридов бора, алюминия и скандия методом CNDO/2. Соломоник В. Г., Озерова В. М., Сazonova И. Г., Краснов К. С. «Ж. структур. химии», 1981, 22, № 1, 155—157

Методом ССП МО ЛКАО в валентном приближении ППДП/2 исследовано электронное строение BF₃, BCl₃, AlF₃, AlCl₃, ScF₃, ScCl₃. Оптимизация валентных углов при фиксированных длинах связей показала, что все системы обладают плоской треугольной равновесной структурой. Рассчитаны частоты и силовые постоянные деформационных колебаний, проведен анализ заселенности по Малликену. Отмечено существенное уменьшение полярности связей при переходе от AlX₃ к BX₃ и от MF₃ к MCl₃ и увеличение — при переходе от AlCl₃ к ScCl₃. Детально проанализирована структура ScF₃.

В. Л.

(45)

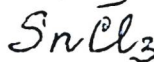
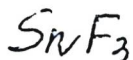
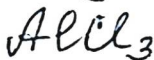
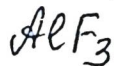
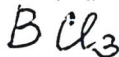
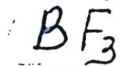
ф. 198/18

16 Б38. Исследование геометрического строения и
деформационных колебаний молекул трифторидов и
трихлоридов бора, алюминия и скандия методом
CNDO/2. Соломон Г., Озерова М. В., Са-
зонова И. Г., Красильникова К. С. «Ж. структур. хи-
мии», 1981, 22, № 1, 155—157

1981

В полуэмпирическом приближении ППДП/2 метода МО
ЛКАО исследована равновесная конфигурация ядер и
характеристики деф. кол. молекул AX_3 ($A=B, Al, Sn;$
 $X=F, Cl$). Расстояния $A-X$ в расчете не варьирова-
лись. Равновесной конфигурацией для всех молекул
является плоский треугольник симметрии D_{3h} . Вычис-
ленные силовые постоянные и частоты плоских и не-
плоских деф. кол. хорошо согласуются с эксперимен-
тальными. Эти характеристики слабо зависят от вклю-
чения в базисный набор d -функций. Анализ заселенностей по Малликену показал существенное уменьшение
полярности связей при переходе $AlX_3 \rightarrow BX_3$ и $AF_3 \rightarrow$
 $\rightarrow ACl_3$. Заряды на атомах металла в AlF_3 и ScF_3 близ-
ки, а в трихлоридах наблюдается заметное увеличение
полярности связи при переходе $AlCl_3 \rightarrow ScCl_3$. Проведено
сопоставление с имеющимися структурными данными и
результатами неэмпирических расчетов.

М. Гофман



кв. мех.
расчет

(15)

г. 1981. N 16

15875

om.

om.

16045

Омский политех

1981

Ommucz 12701

BF_3

BCl_3

AlF_3

$AlCl_3$

ScF_3

$ScCl_3$

corr. recorr.

(HJ)

OM. 16045

C.A. 1981, 94, N22

15875

Om.

BF_3

1981

Spiridonov V.P., et al.

Difr. Stud. Non-Cryst.,

cer. noct.,
redispersie,
ceruziktypa,
M.n.

Subst. Budapest, 1981,

159 - 195.

(cer. HgI_2 ; II)

BF₃

1981

З Д469. Проявления резонанса формы в спектрах поглощения BF₃. Shape resonance effects in the photoabsorption spectra of BF₃. Swanson John R., Dill Dan, Dehmert J. L. «J. Chem. Phys.», 1981, 75, № 2, 619—624 (англ.)

Приведены результаты расчетов спектральных зависимостей сечений дипольных переходов с заполненных орбиталей молекулы BF₃ в нейтральные возбужденные состояния и состояния, находящиеся в ионизационном континууме (до 30 эВ). Определены параметры асимметрии угловых распределений фотоэлектронов, образующихся при ионизации всех занятых молекулярных орбиталей. Отмечено хорошее соответствие расчетных результатов для внутренних K-оболочек атомов В и F и соответствующих эксперим. данных. Вблизи порога ионизации обнаружены два резонанса формы: a_1' - и e' -симметрии. Локализация p -волн на атомах фтора и l -волн вне молекулы BF₃ свидетельствуют, по мнению автора, о существенном отличии природы обнаруженных резонансов от резонансов, ранее наблюдавшихся при исследовании двухатомных молекул. Библ. 29.

*Схема
распредел.*

об. 1982, 18, № 3.

М. Т.

BF_3

1982

Achiba Yohji, et al.

Фотоэлектроп. J. Phys. Chem.,
1982, 86, N5, 681 -
J. - 684.

(см. $(CH_3)_2O$; III)

BF_3

1982

Frost D.C., Yau W.M.,
et al.

y;

J. Phys. Chem., 1982,
86, N 10, 1917-1921.

(ee. $(CH_3)_2O \cdot BF_3$; II)

BF₃

1982

' 96: 77105c Excitation of degenerate vibrations in nondegenerate electronic bands. Haller, E.; Koeppl, H.; Cederbaum, L. S.; Bieri, G.; Von Niessen, W. (Phys. Chem. Inst., Univ. Heidelberg, D-6900 Heidelberg, Fed. Rep. Ger.). *Chem. Phys. Lett.* 1982, 85(1), 12-16 (Eng). The vibrational fine structure of the 2A₁' band in the photoelectron spectrum of BF₃ was analyzed. By using ab initio calcd. coupling consts., it is shown that some lines of this spectrum represent excitation of single quanta of the degenerate stretching vibration. They borrow their intensity from the adjacent 2E' state via a pseudo-Jahn-Teller interaction.

*кон. и емуж
многа 2A₁
ночк и quo
может прох.*

сспектр

C. A. 1982, 96, N 10.

βF_3

1982

6 Б21. Электронные эффекты координации. Переход и поляризация электронной плотности в донорно-акцепторных комплексах оснований Шиффа с галогенидами металлов III группы. Харабаев Н. Н., Коган В. А., Осипов О. А. «Ж. общ. химии», 1982, 52, № 11, 2617—2620

На основании расчета методом ППДП электронного строения ряда галогенидов металлов MX_3 ($M=B, Al; X=F, Cl, Br$) и их молек. комплексов с бензальанилином показано, что относит. локализация акцептированной электронной плотности на атомах M и X существенно меняется в рядах M и X , причем степень ее локализации на атоме галогена растет в рядах $M=Al, B$ и $X=F, Cl, Br$. На основании рассчитанных дипольных моментов донорно-акцепторного взаимодействия сопоставлены между собой акцептирующие св-ва молекул MX_3 и показано усиление их в ряду MF_3, MCl_3, MBr_3 для бора и алюминия.

Из резюме

Электрон-
но-энергети-
координации

f5

Х. 1983, 19, № 6 (ИК) $BCl_3, BV_3, AlF_3,$
 $AlCl_3, AlBr_3$

BF_3

1982

97: 190599a Matrix isolation spectroscopic study of the boron trihalide-dimethyl ether 1:1 adducts. Hunt, Robin L.; Ault, Bruce S. (Dep. Chem., Univ. Cincinnati, Cincinnati, OH 45221 USA). *Spectrosc.: Int. J.* 1982, 1(1), 45-61 (Eng). The matrix isolation technique was coupled with IR spectroscopy to study the 1:1 adducts of the B trihalides with Me_2O and its perdeutero analog. The Ar matrix spectrum of the $\text{BF}_3\text{-Me}_2\text{O}$

complex was in good agreement with the thin film spectrum obtained previously, although much sharper bands were obtained. IR spectra of the $\text{BCl}_3\text{-Me}_2\text{O}$ complex were obtained for the 1st time, and were dominated by intense B-Cl stretches at 777 and 815 cm^{-1} , while the B-O stretch was identified at 608 cm^{-1} , for the ^{11}B compd. Similarly, the 1st spectra of the 1:1 adduct $\text{BBr}_3\text{-Me}_2\text{O}$ were recorded, and were highlighted by moderately intense B-Br stretching modes at 680 and 722 cm^{-1} , again for the ^{11}B isotope. In addn., the sym. C-O-C stretching mode of the coordinated ether was obsd. for each complex, and the position of this mode correlated well with the Lewis acidity of the B trihalide. This suggests that the sym. C-O-C stretch of Me_2O might be used as an addnl. empirical probe of the relative Lewis acidities of compds. coordinated to Me_2O .

Clemmp
of Memphis

(4) 20

C.A. 1982, 97, N22

(CH₃)₂O

BF₃

1982

8 Б213. Изучение силового поля некоторых молекул типа XY₃(D_{3h}) методом параметрического приближения.
 Force field studies of some XY₃(D_{3h})-type molecules by parametric representation method. Mohan S., Rajaraman S. «Indian J. Pure and Appl. Phys.», 1982, 20, № 3, 230—232 (англ.)

Рассчитано силовое поле для плоских молекул и ионов XY₃ (симметрия D_{3h}), используя метод параметрич. приближения. Расчеты проведены для BY₃ (Y=F, Cl, Br, I) BO₃⁻ и NO₃⁻ с использованием частот изотопозамещенных. Все недиагональные силовые постоянные связь—связь уменьшаются с уменьшением электроотрицательности центрального атома. Величины недиагональных силовых постоянных связь—угол все меньше нуля. Вычислены средние амплитуды колебаний при 298 К, константы сокращения связей, Корiolисовы постоянные (ξ) и константы центробежного искажения. С ростом массы центрального атома амплитуды колебаний уменьшаются; падают также значения ξ_3 , тогда как величины ξ_{24} возрастают.

Е. Разумова

ll. n., след.
наст.

75

X. 1983, 19, N 8.

BCl₃, BBr₃, BI₃, BO₃⁻, NO₃⁻

BF₃

1982

) 4 Д45. Изучение силового поля некоторых молекул типа XY₃ симметрии (D_{3h}) методом параметрического представления. Force field studies of some XY₃ (D_{3h})-type molecules by parametric representation method. Mohan S., Rajagaman S. «Indian J. Pure and Appl. Phys.», 1982, № 3, 230—232 (англ.)

Д. И. П.,
Изд. НОСМ

Изучены силовые поля молекул BF₃, BC₃, BB₃, BJ₃ и ионов BO₃³⁻, NO₃⁻ на основе параметрич. подхода к анализу колебаний молекул. Для получения лучшего варианта силового поля в качестве дополнительных эксперим. данных использованы частоты колебаний изотопозамещенных молекул. Вычислены силовые постоянные, средние амплитуды колебаний и постоянные сжатия, кориолисовы постоянные взаимодействия и постоянные центробежного искажения. И. П. Яковлев

(+5) 18

Ф. 1983, 18, N4.

BF₃

Лоннек 14789

1982

ab initio
pacrem

Озерова В.М., Coronau-
хук В.П. и др.,

УВ. быт. Кемеров
и Кург. межевои., 1982,
25, N9, ● 1078-1080.

BF₃

Om. 16047

1982

97: 205063x Theoretical study of the force field and vibrational spectrum of a boron trifluoride molecule by the MO LCAO SCF method. Ozerova, V. M.; Solomonik, V. G.; Krasnov, K. S. (Ivanov. Khim.-Tekhnol. Inst., Ivanovo, USSR). *Izv. Vyssh. Uchebn. Zaved., Khim. Khim. Tekhnol.* 1982, 25(9), 1078-80 (Russ). MO LCAO SCF ab initio calens. using 3 different sets of grouped Gaussian functions gave values of equil. internuclear distances, force consts., frequencies of normal vibrations, isotope shifts, and IR vibrational intensities for BF₃ mol. All 3 bases gave results which are in good agreement with exptl. data.

Adv. NMR,

71;

C.A. 1982, 97, N24

BF₃

№ 16047

1982

4 Б82. Теоретическое исследование силового поля и колебательного спектра молекулы BF_3 методом МО ЛКАО ССП. Озерова В. М., Соломоник В. Г., Краснов К. С. «Изв. вузов. Химия и хим. технол.», 1982, 25, № 9, 1078—1080

Неэмпирическим методом МО ЛКАО ССП с использованием 3 базисных наборов сгруппированных гауссовых функций, двухэкспонентном DZ ($9s5p/4s2p$), трехэкспонентном TZ ($10s6p/5s3p$) и расширенном поляризационными функциями ($10s6p1d/5s3p1d$) найдены равновесные межъядерные расстояния (R_e), силовые постоянные, частоты нормальных колебаний v_i , изотопич. сдвиги и интенсивности колебаний в ИК-спектре молекулы BF_3 . Все три базиса приводят к результатам, хорошо согласующимся с эксперим. данными. Отклонения теор. значений от эксперим. составляют для R_e 0,025, 0,012, —0,010 Å и для v_i в среднем 3,2; 2,4 и 7% в базисах DZ, TZ и TZ+P соответственно.

Автореферат

коллапс-спектр.

X.1983, 19, N 4

BF₃

ночью 5/11-1982г.
(в керам.)

ab initio
расчет.

B.F. Сосонковск,
Мезопалеотреческие и ОКАО
расчеты синтетических полимеров
и композитов. спектров ядерно-
атомных методов. монография.

BF₃

1983

Ул7 Б1205. Спектры комбинационного рассеяния кристаллического трифторида бора. Raman spectra of crystalline boron trifluoride. Binberg O. S., Andersson A. «Can. J. Spectrosc.», 1983, 28, № 6, 173—176 (англ.; рез. фр.)

Изучены спектры КР (λ 514,5 нм) поликрист. образцов BF_3 (I) при 20 и 80 К. Обнаружен сложный спектр в области НЧ-колебаний крист. решетки (20—130 см^{-1}) и колебания v_3 I (~ 1350 —1550 см^{-1}). Проведен теоретико-групповой анализ спектров внутр. и внешн. кол. (симметрия кристалла C_{i^1} или $C_1^1Z_8$, позиц. симметрия молекул в кристалле C_1 , фактор-группа C_1), и проведено отнесение линий в спектрах к различным типам колебаний. Полученные данные составлены с результатами исследования ИК-спектров I.

А. В. Бобров

X.1984, 19, N17

BF₃

1983

10 Д111. Влияние эффектов конечного состояния на формирование K-оболочечных спектров в молекуле BF₃. Final-state effects on the assignment of boron K-shell spectra in BF₃ molecules. Gianturco F. A., Sempagin E., Stefani F. «Nuovo cim.», 1983, D2, № 3, 687—696 (англ.; рез. ит.)

Для объяснения спектров поглощения в молекуле BF₃ выше и ниже порога ионизации предложена простая модель, в которой образование дырки в K-оболочке атома B эквивалентно изменению заряда его ядра. Предполагается, что возбуждаемый электрон испытывает действие двухямного потенциала, причем внутренняя яма локализована вблизи ядра B, внешняя — при удалении от молекулы, а барьер — в местах расположения атомов F. В рамках этой модели вычислены энергии перехода из K-оболочки на виртуальные орбитали двухямного потенциала и проведена со-

*спектры
поглощения*

Ф. 1983, 18, N 10

отвествующая идентификация спектра поглощения молекулы BF_3 . Показано, что вычисленные спектры поглощения хорошо согласуются с эксперим. данными. Отмечаются недостатки предыдущих расчетов, основанных на модели «замороженного» остова. А: Воронин

BF₃

1983

7 Д268. Многомодовые эффекты Яна — Теллера и псевдоэффект Яна — Теллера в BF_3^+ . Multimode Jahn-Teller and pseudo-Jahn-Teller effects in BF_3^+ . Heller E., Köppel H., Cederbaum L. S., Von Niesen W., Bieri G. «J. Chem. Phys.», 1983, 78, № 3, 1359—1370 (англ.)

Выполнен анализ 6 полос He II фотоэлектронных спектров молекулы BF_3 , учитывающий многомодовые эффекты Яна — Теллера и псевдоэффект Яна — Теллера для возбужденных состояний иона BF_3^+ : $1A_2'$, $1E''$, $3E'$, $1A_2''$, $2E'$, $2A_1'$. Положения этих состояний, ян-теллеровские и псевдо-ян-теллеровские константы линейной связи определены неэмпирически с помощью техники ф-ций Грина. Рассмотрены различные механизмы 6 указанных состояний посредством четырех мод BF_3^+ : $v_1(a_1')$, $v_2(a_2'')$, $v_3(e')$, $v_4(e')$. Показано, что обе вырожденные моды v_3 и v_4 активны в каждом вырож-

(4) 18

ср. 1983, 18, № 7

BF_3^+ (Э, м.н.)

денном E -состоянии, поэтому фотоэлектронные спектры существенно отличаются от спектров, полученных сверткой одномодовых спектров. Двухмодовое псевдо-ян-теллеровское взаимодействие $1A_2'$ и $3E'$ приводит к сильному искажению потенц. поверхности $1A_2'$ и понижению ее симметрии от D_{3h} к C_{2v} . А. Воронин



$BF_3(kp)$

1983

100: 129058n Raman spectra of crystalline boron trifluoride.
Binbrek, O. S.; Anderson, A. (Dep. Phys., Univ. Waterloo, Waterloo,
ON Can. N2L 3G1). *Can. J. Spectrosc.* 1983, 28(6), 173-6 (Eng).
Raman spectra of solid BF_3 at 80 and 20 K are reported. Features in
the lattice and ν_3 regions were obsd. for the 1st time. The results
were compared with earlier Raman and IR studies and analyzed by
use of the correlation method. The origins of the main features are
discussed in terms of symmetry, frequency and intensity arguments.

CKP

c.A. 1984, 100, N16

BF_3

BF_3^+

$(\nu_i), \delta$

1983

15 Б24. Многомодовый эффект Яна — Теллера и псевдоэффект Яна — Теллера в BF_3^+ . Multimode Jahn—Teller and pseudo-Jahn—Teller effects in BF_3^+ . Halleg E., Köppel H., Cederbaum L. S., von Niesen W., Biegert G. «J. Chem. Phys.», 1983, 78, № 3, 1359—1370 (англ.)

В рамках теории эффекта и псевдоэффекта Яна — Теллера изучены вибронные электронно-колебательные взаимодействия в состояниях, возникающих при ионизации молекулы BF_3 и иона BF_3^+ . Расчеты энергий ионизации и констант вибронного взаимодействия проведены методом гриновских функций. Найдено, что два активных в эффекте Яна-Теллера колебания во всех состояниях симметрии E приводят к интерференц. эффектам. В ионном состоянии симметрии A_1' ($2A_1'$) возбуждаются вырожденные колебания, к-рые имеют по-

X. 1983, 19, N 15

высокие интенсивности из-за наличия соседнего $2E'$ -состояния вследствие псевдоэффекта Яна-Теллера. Показано, что симметрия положит иона в невырожденном основном состоянии должна быть ниже D_{3h} из-за двухдомодового вибронного взаимодействия со вторым возбужденным состоянием. С использованием указанных расчетов проведена интерпретация всех шести полос в фотоэлектронном (НеП) спектре BF_3 с определением тонкой колебательной структуры полос. На основании проведенного анализа эти полосы, лежащие в интервале 22—16 эВ, отнесены соответственно к $2A_1'$, $2E'$, $1A_2''$, $3E'$, $1E''$ и $1A_2'$ ионным состояниям.

С. Долин

BF_3 1983

Imai Masaru, Tizuaka
Takeshi., et al.

CCR.
no. 20

J. Chem. Inf. Comput.
Sci. 1983, 23(1), 53-56.

(ccr. H_2O ; II)

XY_3

BF_3

1983

99: 184135w Empirical relations for Coriolis coupling constants of XY_3 type of molecules. Sengodan, V.; Ramalingam, P. (Dep. Phys., P.S.G. Coll. Arts Sci., Coimbatore, 641 014 India). *Bull. Soc. Chim. Belg.* 1983, 92(8), 691-4 (Eng). For calcg. the Coriolis coupling consts. [ξ_{ij}] of planar XY_3 -type mols. (D_{3h} symmetry), new empirical relations in terms of the reduced mass and the principal

quantum no. were obtained, and were used to calc. ξ_{ij} values for the mols. MF_3 [M = B, Sc, Y, and La], MCl_3 [M = Sc, Ga, Y, and In], MBr_3 [M = Sc, Ga, Y, and In], and MI_3 [M = B, Sc, and La]. Comparisons are made with other existing calcns., and with the available exptl. data in the case of BF_3 and BI_3 .

no cm. Kondo-
nuc. Gauss

param

(44) \otimes

c. A. 1983, 99, 1122

BF₃

1983

12 Б1067. Колебательная потенциальная энергия многоатомной молекулы в пространстве зависимых внутренних координат. Смирнов М. Б. «Оптика и спектроскопия», 1983, 55, № 6, 1017—1023

Рассмотрены линейные члены потенциальной функции многоатомной молекулы в пространстве зависимых внутренних координат. Дано прямое доказательство корректности использования силовых полей Юри-Бредли и предложена геометрич. интерпретация проблемы для случая двух зависимых координат. Вопрос о физ. содержательности учета внутренних напряжений при построении эмпирических силовых полей рассмотрен на примере молекулы BF_3 .

Резюме

расчет Vi,

одн. пост.

ном., сmp.

X. 1984, 19, N 12

BF_3

1983

4 Д56. Колебательная потенциальная энергия многоатомной молекулы в пространстве зависимых внутренних координат. Смирнов М. Б. «Оптика и спектроскопия», 1983, 55, № 6, 1017—1023

Рассмотрен вопрос о линейных членах потенц. ф-ции многоатомной молекулы в пространстве зависимых внутренних координат. Дано прямое доказательство корректности использования силовых полей Юри — Брэдли и предложена геометрич. интерпретация проблемы для случая двух зависимых координат. Вопрос о физич. содержательности учета внутренних напряжений при построении эмпирич. силовых полей рассмотрен на примере молекулы BF_3 .

Резюме

сф. 1984, 18, № 4

BF_3

1983

100: 147578m Vibrational potential energy of a polyatomic molecule in the space of dependent internal coordinates. Smirnov, M. B. (USSR). *Opt. Spektrosk.* 1983, 55(6), 1017-23 (Russ). The question was examd. on linear terms of potential function of polyat. mols in space of dependent interval conduction Direct evidence is given of the corrections of the use of strong fields of the type of Yuri and Bredly and geometric interpretation is given of the problem for the case of 2 dependent coordinates. The BF_3 mol was studied as an example.

Chem. NOCN

C.A. 1984, 100, N 18

BF₃

Умнек 16426

1983

Содомское Б. Г.

ab initio
pacrum

Неск. суперкомп.

Худ., 1983, 24, N1,



29-38.

BX₃

X=F, Cl, Br, J

спектр,
нервные сист.,
J

Om. 21100

1984

11 Б1184. Остовные энергии связи тригалогенидов бора, льюисовские кислотности тригалогенидов бора и теплоты образования ионов карбония. Core binding energies of the boron trihalides, Lewis acidities of the boron trihalides, and heats of formation of carbonium ions. Beach David B., Jolly William L. «J. Phys. Chem.», 1984, 88, № 20, 4647—4649 (англ.)

В результате измерения рентгеноэлектронных спектров (РЭС) определены энергии связи (ЭС) остовных F1s-, Cl2p_{3/2}-, Br3d_{5/2}- и J3d_{5/2}-уровней в тригалогенидах BX₃ (X=F, Cl, Br, J). С использованием измеренных и известных из лит-ры остовных ЭС соединений BX₃ и NX, а также Пт ионизации неподеленной пары в соединениях NX вычислены «потенциалы ионизации локализованных орбиталей» (ПИЛО) для валентных p-орбиталей атомов галогенов в тригалогенидах BX₃. Анализ ПИЛО показал, что во всех молекулах BX₃ π-связь между атомами В и X сильная, причем она усиливается

X. 1985, 19, N 11

при переходе от BJ_3 к BF_3 . Изменения прочности л-связи позволили объяснить изменения льюисовых констант в тригалогенидах бора, возрастающих в ряду $\text{BF}_3 \ll \text{BCl}_3 < \text{BBr}_3$. В результате сопоставления ПИЛО и центров тяжести энергий связи полос валентных РЭС проведена новая интерпретация валентных РЭС в BX_3 . С использованием $\text{B } 1s$ -ЭС и теплот образования соединений бора ΔH_f° (Б) и соотв. ионов карбона ΔH_f° (карб.) вычислены энергии замещения остова $\Delta_c = E(\text{B } 1s) + \Delta H_f^\circ (\text{B}) - \Delta H_f^\circ$ (карб.) для соединений BX_3 и BH_3CO . Средняя энергия замещения остова в этих соединениях составила 186,91 эВ. И. А. Тополь



BF₃

ОТ. 19288

1984

11 Д93. Формализм внутренних координат для колебательно-вращательных энергий многоатомных молекул. Ч. II. Молекулы типа симметричного волчка с осью симметрии третьего порядка. Internal coordinate formulation for the vibration-rotation energies of polyatomic molecules. II. Symmetric top molecules with a threefold axis. Clodius William B., Quada Richard. «J. Chem. Phys.», 1984, 80, № 8, 3528—3539 (англ.)

С использованием криволинейных внутренних координат для колебательных степеней свободы развита теория колебательно-вращательных взаимодействий в молекулах типа симметричного волчка. Для плоских и не-плоских молекул типа XY₃ получены общие выражения для коэф. инерции, коэф. кориолисовой связи, ангармонич. коэф. колебательной кинетич. энергии. Для определения теоретических вращательно-колебательных и ко-

н-н.

NH₃

(H)

сф. 1984, 18, NII

лебательных ангармонич. спектроскопич. коэф. использована схема возмущений Ван-Флека. Полученные результаты применены для анализа эмпирич. спектроскопич. коэф. молекул BF_3 и NH_3 и для нахождения бесконечных наборов уточненных коэф. ангармонич. потенц. энергии. Найдено, что во многих аспектах приближение криволинейных внутренних координат, использованное для исследования колебательно-вращательных взаимодействий, имеет преимущества перед приближением декартова распределения координат для деформационных мод в молекулах типа симметричного волчка.

Н. В. В.

BF_3

1984

2 Д55. Трифтормид бора. Применение изгибов Кетинга к вырожденным состояниям. Boron trifluoride. Application of the Keating bendings to the degenerate vibrations. Cyvin S. J. «Spectrosc. Lett.», 1984, 17, № 9, 493—509 (англ.)

Силовое поле молекулы BF_3 определено в трех базисах координат симметрии вырожденного пространства E' : валентный, центральный ик координаты Кетинга. Показано, что при расчете силовых полей молекул в вырожденном состоянии предпочтительнее использование координат Кетинга. Приведена библиография 85 названий и сводка эксперим. значений колебательных частот и констант Кориолиса молекулы BF_3 .

Е. О. Воронков

Ф 1985, 18, № 2.

BF₃

1984

101: 160297j Boron trifluoride: application of the Keating bendings to the degenerate vibrations. Cyvin, S. J. (Div. Phys. Chem., Univ. Trondheim, N-7034 Trondheim, Norway). *Spectrosc. Lett.*, 1984, 17(9), 493-509 (Eng). The harmonic force field of the E' species of BF₃ was studied. The Keating force field (KFF) is defined in analogy with the familiar force fields. In this connection, 3 different coordinate sets are introduced. All of them contain bond stretchings. The exptl. data of vibrational frequencies and Coriolis consts. are reviewed extensively, as well as previous normal coordinate analyses. The different coordinate sets are tested for their usefulness as basis of force field approxns. For this purpose, 2 different sets of exptl. data were applied. The general conclusion goes in favor of the Keating coordinates.

Chem. NOCM.

C.A.1984, 101, n18

BF₃

Om. 20360

1984

101: 160299m Planar symmetrical XY₃ and boron trihalides:
mean-square amplitudes and Keating coordinates. Cyvin, S. J.;
Cyvin, B. N. (Div. Phys. Chem., Univ. Trondheim, N-7034
Trondheim, Norway). *Spectrosc. Lett.* 1984; 17(9), 525-35 (Eng.).
The E¹ block of the mean-square amplitude matrix (Σ) for the
planar sym. XY₃ mol. model was treated theor. in terms of the
Keating coordinates. A numerical example for BF₃ is given. Also
the mean amplitudes of vibration and Bastiansen-Morino shrinkage
effect are considered. New relations which connect the mean-square
amplitudes and force consts. are given. Previous works on mean
amplitudes and related quantities for boron trihalides from vibrational
spectroscopy and gas electron diffraction are discussed, and some
new calens. are reported.

Anal. NOCHM.

C.A.1984, 101, n18

BF₃

(Om. 20360)

1984

ЗБ1169. Плоские симметричные молекулы XY_3 и тригалогениды бора. Среднеквадратичные амплитуды колебаний и координаты Китинга. Planar symmetrical XY_3 and boron trihalides: mean-square amplitudes and keating coordinates. Cyvin S. J., Cyvin B. N. «Spectrosc. Lett.», 1984, 17, № 9, 525—535 (англ.)

С использованием координат Китинга рассмотрен блок E' -матрицы среднеквадратичных амплитуд колебаний (Σ) молекул $XY_3(D_{3h})$ в частности тригалогенидов бора. Численные расчеты проведены для молекулы BF_3 . Рассмотрены также средние амплитуды колебаний и эффект сокращения (Δ) Бастиансена — Морио. Получены соотношения между среднеквадратичными амплитудами колебаний и силовыми постоянными. Дан обзор работ по экспериментальным (электронографическим) и расчетным средним амплитудам колебаний тригалогенидов бора. Библ. 42.

В. М. Ковба

М.Л. Гомберг
Структура

Х. 1985, 19, № 3.

Bf3

07.20.360

1984

2 Д58. Плоские симметричные молекулы XY_3 и тригалогениды бора: средние квадратичные амплитуды и координаты Кетинга. Planar symmetrical XY_3 and boron trihalides. Mean-square amplitudes and Keating coordinates. Cuyin S. J., Cuyin B. N. «Spectrosc. Lett.», 1984, 17, № 9, 525—535 (англ.)

Получены соотношения между координатами симметрии типа E' Кетинга и валентными координатами симметрии плоских молекул XY_3 . Матрицы средних квадратичных амплитуд в координатах симметрии Кетинга Σ^k выражены через средние квадратичные амплитуды в валентных координатах Σ . Для матрицы Σ^k составлено и решено вековое ур-ние с коэф., зависящими от масс X , Y и от частот колебаний и т-ры. Приводятся численные значения элементов Σ^k и Σ амплитуд типа σ в естественных валентных координатах и координатах Кетинга для $^{21}BF_3$. Приведен список 39 статей, содержащих значения σ и средние колебательные ампли-

*расчет д.н.,
смд. подм.*

(43)

окт. 1985, 18, № 3.



VCl₃, VBr₃, VI₃

туды l тригалогенидов бора. Новые значения l_{BF} и l_{FF} в $^{11}BF_3$ получены с использованием частот изотопич. молекул и постоянных Кориолиса. Найденные силовые постоянные применены к расчету средних амплитуд колебаний $^{10}BF_3$. Вычислены значения l_{xy} и l_{yy} для всех четырех BY_3 ($Y=F, Cl, Br, I$). Рассчитан также эффект сокращения Бастиансена—Морино в $^{11}BF_3$ и $B_{10}F_3$. Получены новые соотношения между элементами матрицы Σ и силовыми постоянными. Библ. 42.

М. А. Ковнер

BF₃

1984

3 Д290. Исследование разрешаемых по углу фотозелектронов валентных уровней BF₃ в диапазоне $17 \leq h\nu \leq 18$ эВ. Angle-resolved photoelectron study of the valence levels of BF₃ in the range $17 \leq h\nu \leq 28$ eV.
Dehmer J. L., Ragg A. C., Southworth S. H.,

Holland D. M. P. «Phys. Rev. A: Gen. Phys.», 1984,
30, № 4, 1783—1790 (англ.)

Описанный ранее прибор (Ragg A. C. et al. «Nucl. Instrum. Methods», 1980, 172, 357), основанный на использовании синхротронного излучения со спектральным разрешением 0,4 Å на полной ширине полумаксимума и анализом испускаемых электронов полусферич. анализатором с разрешением ~ 110 мэВ, применен для измерений отношений интенсивностей и угловых распределений фотоэлектронов для 6 наиболее удаленных уровней BF₃ в диапазоне $17 \leq h\nu \leq 28$ эВ. При каждой

Фотоэлектр.
спектр

оф. 1985, 18, № 3

из рассматриваемых длин волн и всех валентных состояниях фотоэлектронные спектры регистрировались при углах вылета электронов $\theta = 0, 45$ и 90° . Для каждого из 4 разрешенных и 2 частично разрешенных фотоэлектронных пиков представлены зависимости от энергии отношений интенсивностей, рассчитанных парциальных сечений фотоионизации и параметров фотоэлектронной асимметрии, форма которых различна для различных орбиталей BF_3 . Обсуждается роль формы резонанса в динамике процессов фотоионизации BF_3 .

И. П. Флакс

BF₃

[0m. 20107]
20028

1984

Dwivedi C.P.D.

200ммр.,
Экспресс
Санси, Т,
14, миоп.
pacrem.

Pramāra, 1984, 23,
N.Y, 529 - 539.

BF_3

1984

Farker et al., Srivastava

R.D.

J. Chem. Phys., 1984,
81, N1, 241 - 244.

(cet. BF_3 ; II)

BF₃

1984

З Д291. Зависимость от энергии фотонов электронного спектра BF_3 в области энергии ионизации K -оболочки бора. Photon energy dependence of the electron spectra of BF_3 near the boron K ionisation energy. Капамоги Хидето, Ивата Суэхиро, Микупи Акига, Сасаки Таизо. «J. Phys. B: Atom. and Mol. Phys.», 1984, 17, № 19, 3887—3900 (англ.)

Измерены фотоэлектронные спектры BF_3 при энергиях фотонов 192,3; 195,9; 206 и 221 эВ. Обнаружено несколько процессов эмиссии электронов. Разрешены некоторые спектральные линии и проведена их интерпретация в рамках неэмпирич. теории МО. Четко наблюдался резонансный оже-спектр при возбуждении квазидискретного перехода ниже потенциала ионизации K -оболочки бора. Норм. оже-спектр наблюдался при возбуждении резонанса формы выше энергии ионизации. Оба спектра интерпретированы с использованием лока-

*фотоэл.
спектр*

cf. 1985, 18, № 3

лизованных дырочных состояний. Обсуждаются возможности применения синхротронного излучения для увеличения информативности эксперимента. Требуются также более детальные расчеты с учетом корреляции валентных электронов и смешивания непрерывных и квазидискретных состояний.

Г. К.

BF₃

1985

ЗД152. Изучение с помощью метода ССП-МР-Х α связывания и ядерной квадрупольной связи в тригалогенидах бора. An SCF-MS-X α study of the bonding and nuclear quadrupole coupling in boron trihalides. Bommaier Graham A., Boyd Peter D. W., Sorrenson Richard J. «J. Chem. Soc. Faraday Trans.», 1985, Pt2, 81, № 7, 1023—1034 (англ.)

Расчеты с помощью метода ССП-МР-Х α проведены для тригалогенидов бора BX₃ (X=F, Cl, Br, I) с целью исследования химич. связей и ядерного квадрупольного взаимодействия в этих молекулах. Получено разумное совпадение (в пределах 30%) для констант галогенной связи в случае X=Cl, Br, I. Согласие для констант бора хуже, но они больше зависят от радиуса сферы, используемой для расчета. Представлены данные для плоскостных и внеплоскостных π-связей в этих молекулах, свидетельствующие о переносе заряда порядка 0,1e с p_π-орбиталей галогена на соответствующие p-орбитали бора. Показано, что предшествующие ре-

и. п., структура

(73)

cf. 1986, 18, N3

BCl₃, Br₃, B₃

зультаты, основанные на данных ЯКР для галогенов и касающиеся внеплоскостного π -связывания, только случайно оказались правильными, т. к. параметры асимметрии градиента поля галогенов не определяются разностью заселеностей p_{π} -орбиталей галогенов. Показано, что существующие трудности в согласовании параметров квадрупольной связи галогенов и бора частично вызваны пренебрежением плоскостной π -связью, а частично — сжатием p -орбиталей.

Л. Д. Б.



BX_3

BF_3

1985

4 Б1106. Исследование связи и ядерного квадрупольного взаимодействия в тригалогенидах бора методом ССП-Х α -РВ. An SCF-MS-X α study of the bonding and nuclear quadrupole coupling in boron trihalides. Bowmaker Graham B., Boyd Peter D. W., Sorenson Richard J. «J. Chem. Soc. Faraday Trans.», 1985, Pt 2, 81, № 7, 1023—1034 (англ.)

Методом ССП-Х α рассеянных волн (Х α -РВ) рассчитаны электронное строение и константы ядерного квадрупольного взаимодействия (КЯКВ) в молекулах BX_3 ($X=F, Cl, Br, I$). Исследована зависимость КЯКВ и др. вычисляемых характеристик от радиусов атомных сфер. КЯКВ атомов галогенов в BX_3 в пределах 30% согласуются с эксперим. значениями. Согласие между теорет. и эксперим. КЯКВ атома В несколько хуже, чем для атомов X, однако КЯКВ атома В существенно более сильно зависит от радиуса атомной сферы В в

структура

(73)

17

Х. 1986, 19, NЧ



BCl_3, BBr_3, BI_3

молекулах. На основе анализа распределения заряда показано, что в BX_3 « π -связь» в плоскости молекулы столь же важна как и « π -связь» вне плоскости. В отличие от пред. теорет. результатов установлено, что параметры асимметрии градиента поля на ядрах X в BX_3 не определяются исключительно разностями заселенностей p_{π} -орбиталей галогена. Обнаружен перенос 0,1 e с p_{π} -орбиталей галогена на p -орбитали бора.

И. А. Тополь

BF_3

1985

103: 168833t An SCF-MS-X α study of the bonding and nuclear quadrupole coupling in boron trihalides. Bowmaker, Graham A.; Boyd, Peter D. W.; Sorrenson, Richard J. (Dep. Chem., Univ. Auckland, Auckland, N. Z.). *J. Chem. Soc., Faraday Trans. 2* 1985, 81(7), 1023-34 (Eng). SCF-MS-X α MO calcns. were carried out for BX_3 ($X = \text{F}, \text{Cl}, \text{Br}, \text{I}$) in order to investigate their bonding and nuclear quadrupole coupling. Reasonable agreement (to within 30%) is obtained between the calcd. and obsd. halogen coupling consts. for $X = \text{Cl}, \text{Br}, \text{I}$. The agreement is poorer for the B coupling consts., but these are more dependent on the sphere radii used in the calcns. Similar degrees of in-plane and out-of-plane ' π bonding' are present in these mols. and result in transfer of ~ 0.1 e from the halogen p_z orbitals to the appropriate B p orbitals.

(72) ~~103~~

BCl_3 , BBr_3

C.A. 1985, 103, N20

BF₃

[Om. 20865]

1985

Гершуков А.Р., Смирнова
В.Н.,

Сел. Новом.
Спургк.,
р.
(Энерго-
химия +
спекмост.)

Весна. МРУ. Химия,
1985, 26, №1, 15-20.

BF₃

10m. 93000

1985

Гершиков А. Г., Смирново-
нов В. Г. и др.,

Рассчет

Центробеж.

поправок

к структ.

и кодексам.

на расчет-

расч.

Вестн. МГУ. Химия,

1985, 26, №, 531-534.

BF_3

1985

Chau F.T., McDowell
C. A.

Cer. nocei.,

g. allol. Struct.

T, re;

1985, 129 (1-2), 169-
-73.

(Cer. F_2 ; III)

BF₃

1985

13 Б1084. Определение постоянных гармонического потенциала молекулы BF_3 совместным анализом данных электронографии и спектроскопии. Гершинков А. Г., Спиридонос В. П. «Вестн. МГУ. Химия», 1985, 26, № 1, 15—20

С использованием в кач-ве параметров постоянных гармонич. потенциальной функции проведён совместный анализ эксперим. данных по интенсивностям рассеяния электронов, частотам колебаний и их изотопным сдвигам, постоянным Кориолиса, вращат. и центробежной постоянным молекулы BF_3 . Показано, что полученное значение равновесного межъядерного расстояния B—F и набор силовых постоянных характеризуется меньшей погрешностью, чем определенные из отдельных измерений.

В. П. Спиридонос

М.Н., Слд. 1001

X.1985, 19, N/3

BF_3

1985

/ 102: 194112f Determination of harmonic force constants of the boron fluoride molecule by combined analysis of electron diffraction and spectroscopic data. Gershikov, A. G.; Spiridonov, V. P. (Mosk. Univ., Moscow, USSR). *Vestn. Mosk. Univ., Ser. 2: Khim.* 1985, 26(1), 15-20 (Russ). In the harmonic potential approxn., exptl. values, measured by electron diffraction and absorption spectrometry, were related functionally to the equil. internuclear distances and the force consts. of the BF_3 with D_{3h} .

(au. NOCM.)

C.A. 1985, 102, N212

BF₃

1985

6 Д73. Определение постоянных гармонического потенциала молекулы BF_3 совместным анализом данных электронографии и спектроскопии. Гершиков А. Г., Спиридовонов В. П. «Вестн. МГУ. Химия», 1985, 26, № 1, 15—20.

С использованием в качестве параметров постоянных гармонич. потенц. ф-ции прведен совместный анализ эксперим. данных по интенсивностям рассеяния электронов, частотам колебаний и их изотопным сдвигам, постоянным Кориолиса, вращательной и центробежной постоянным молекулы BF_3 . Показано, что полученное значение равновесного межъядерного расстояния $\text{B}-\text{F}$ и набор силовых постоянных характеризуются меньшей погрешностью, чем определенные из каждого измерений в отдельности. Выполнен также анализ относит. чувствительности постоянных потенциала к разнородным эксперим. данным.

Автореферат

*м.л., геометр.
структур*

96, 1985, 18, № 6

BF_3

1985

Rosenthal G. Z.

Energy Res. Abstr.

(A_{F^-}) 1985, 10 (1), Abstr. N° 988.

(eiu. PF_5 ; \underline{III})

BF₃

1985

7 Б1099. Сопоставление модельных описаний колебательных потенциальных функций многоатомных молекул на основе квантовомеханических расчетов. Смирнов М. Б. «Применение колебат. спектров к исслед. неорган. и координац. соедин. 10 Всес. науч. совещ. Тез. докл.» Б. м., 1985, 7

Предложена схема анализа потенциальной функции (ПФ) многоатомной системы, определенной методом НДП, делающим возможным разложение ПФ на одно- и двухцентровые вклады и рассмотрение зависимости матрицы плотности от малых деформаций. Схема предусматривает разложение ПФ и ее первых и вторых пр-ных по деформациям на пространственно локализованные вклады. Анализ такого разложения для первых пр-ных обеспечивает возможность колич. оценки внутр. напряжений, а аналогичное рассмотрение вторых пр-ных позволяет охарактеризовать роль различных факторов в структуре силового поля молекулы. Численные расчеты проведены для молекул BF_3 , CF_4 и SF_6 . Из резюме

*расчет
структур*

(1)
(2)

χ. 1986, 19, N 7.

BF₃

1985

5 Л179. Наблюдение чисто вращательных переходов в основном колебательном состоянии молекулы ¹⁹BF₃ методом инфракрасно-микроволнового двойного резонанса. Pure rotational transitions in the ground vibrational state of ¹⁰BF₃ observed by infrared-microwave double resonance. Yamamoto Satoshi, Nakamura Taisuke, Takeo Harutoshi, Matsumura Chi, Takami Michio, Kuchitsu Kozo. «Chem. Phys. Lett.», 1985, 122, № 1-2, 9—11 (англ.)

(B_0, D_0)

Методом ИК-МВ-двойного резонанса с использованием перестраиваемого диодного лазера для ИК-зондирования и клистронов для МВ-накачки исследован чисто вращательный спектр неполярной молекулы BF₃. Идентифицированы линии переходов с $K=0 \leftarrow 3$ и $\Delta J=0$ ($J=29 \div 39$) вблизи 46 ГГц. Определены значения вращательных и центробежных постоянных ($B_0=10343,080$, $C_0=5161,40$, $D_K=0,0107$, $D_{JK}=-0,0226$ МГц) и постоянной K -удвоения $\Delta_3=0,54 \cdot 10^{-8}$ МГц. М. Р. Алиев

сб. 1986, 18, № 5

BF₃

от 23037

1985

8 Б1206. Чисто вращательные переходы в основном колебательном состоянии $^{10}\text{BF}_3$ наблюдаемые методом инфракрасного-микроволнового двойного резонанса. Pure rotational transitions in the ground vibrational state of $^{10}\text{BF}_3$ observed by infrared-microwave double resonance. Yamamoto Satoshi, Nakanaga Taisuke, Takeo Harutoshi, Matsumura Chi, Takami Michio, Kuchitsu Kozo. «Chem. Phys. Lett.», 1985, 122, № 1—2, 9—11 (англ.)

Методом двойного ИК-микроволнового резонанса с использованием перестраиваемого полупроводникового лазера измерены вращат. переходы в молекуле $^{10}\text{BF}_3$, проявляющиеся за счёт дипольного момента, индуцированного центробежнымискажением в основном колебат. состоянии ($\mu_{\text{эфф.}} \approx 0,006 \text{ D}$ для $J=33$). Значение аксиальной вращат. постоянной $C_c = 5161,40 \pm 0,05 \text{ МГц}$; расщепление $A_1 - A_2$ уровня $K=3$ составляет $20,4 \pm 3,8 \text{ МГц}$ для $J=39$; $\Delta_3 = (0,54 \pm 0,10) \cdot 10^{-8} \text{ МГц}$ (при анализе B_0 , D_{JK} , D_K фиксировались, а H_{JJKK} и H_{KKK} не учитывались). В. М. Ковба

Х. 1986, 19, N8

BF_3

29236, 8"

9 Б1273. Спектроскопия инфракрасного-микроволнового двойного резонанса полосы v_3 ¹¹BF₃ с использованием перестраиваемого диодного лазера. Infrared-microwave double resonance spectroscopy of the v_3 band of ¹¹BF₃ using a tunable diode laser. Yamamoto S., Kuchitsu K., Nakanaga T., Takeo H., Matsumura C., Takami M. «J. Chem. Phys.», 1985, 83, № 4, 1444—1448 (англ.). Место хранения ГПНТБ СССР

С использованием микроволновых (МВ) источников в обл. частот 20—55 ГГц и перестраиваемого диодного лазера в диапазоне длин волн вблизи 7 мкм методом ИК-МВ двойного резонанса измерен чисто вращат. спектр $^{11}\text{BF}_3$ в возбужденном v_3 колебат. состоянии. Дипольный момент, перпендикулярный плоскости молекулы симметрии D_{3h} , индуцирован за счет вырожденной v_3 колебат. моды. С учетом анализа ИК-спектра v_3 полосы $^{11}\text{BF}_3$ определены вращат. постоянная $C_0 = 5138,546$ (7) МГц, квартичные и секстичные постоянные центробежного искажения. Из анализа уширения линий за счет эффекта насыщения оценена величина колебательно индуцированного дипольного момента 0,04D с неопределенностью 0,03—0,06D. С. Н. Мурзин

100

W.N.

X.1989, 19, N9

BF_3

1985

(Dm. 23037)

104: 26304t Pure rotational transitions in the ground vibrational state of boron-10 trifluoride observed by infrared-microwave double resonance. Yamamoto, Satoshi; Nakanaga, Taisuke; Takeo, Harutoshi; Matsumura, Chi; Takami, Michio; Kuchitsu, Kozo (Fac. Sci., Univ. Tokyo, Tokyo, Japan 113). *Chem. Phys. Lett.* 1985, 122(1-2), 9-11 (Eng). Rotational transitions of $^{10}\text{BF}_3$ due to the centrifugal distortion-induced dipole moment in the ground vibrational state were obsd. by IR-microwave ODR using a tunable diode laser. The axial rotational const., C_0 , is 5161.40 ± 0.05 MHz. The A_1-A_2 splitting of the $K = 3$ level is 20.4 ± 3.8 MHz for $J = 39$.

recmota -
isan. crekp,
forallam -
no cmorth.

c.a. 1986, 104, ny

BF_3

(Om. 23836)

1985

103: 112418u Infrared-microwave double resonance spectroscopy of the v_3 band of boron-11 trifluoride using a tunable diode laser. Yamamoto, Satoshi; Kuchitsu, Kozo; Nakanaga, Taisuke; Takeo, Harutoshi; Matsumura, Chi; Takami, Michio (Fac. Sci., Univ. Tokyo, Tokyo, Japan 113). *J. Chem. Phys.* 1985, 83(4), 1444-8 (Eng). Pure rotational transitions in the v_3 state (E') of $^{11}\text{BF}_3$ due to vibrationally induced dipole moment were obsd. by IR-microwave double resonance using a tunable diode laser. The induced dipole moment is $0.04 \pm 0.02\text{-}0.01^{+0.02}$ D from the power broadening of the double resonance signals. The rotational const. C_0 was detd. exptl. by use of the obsd. IR and microwave transitions to be $5161.4(6)$ MHz.

(D₃)

C.A. 1985, 103, n 14.

BF_3

1986

Durrant M.C.,
Hegde M.S., et al.

v. n.

J. Chem. Phys., 1986,
85, N 11, 6356 - 6360.

(cav. $H_2O \cdot BF_3$; i))

BF_3

1986

Lohr Lawrence L.,
Popa Jean Michel Y.

(Dy)

J. Chem. Phys. 1986,
84 (8), 4196-204.

(c.c. NH_3 ; \overline{II})

BF₃

1986

8 Д71. Расчет силового поля некоторых плоских молекул типа XY₃ параметрическим методом. Parametric approach to the force field study of some XY₃ planar molecules. Mohan S., Durai S., Dwarakanathan S. P. «Acta phys. pol.», 1986, A 69, № 2, 319—324 (англ.)

Методом параметрич. представления формы колебаний из эксперим. данных по частотам колебаний и средним амплитудам колебаний вычислены силовые постоянные, постоянные кориолисова взаимодействия и квартичного центробежного искажения молекул BX₃ (X=F, Cl, Br, I), FeCl₃ и GaI₃. М. Р. Алиев

(дл. 11.)

(15) ⊗

φ. 1986, 18, N8

● *BCl₃, BB₂Cl₂, BI₃,*
FeCl₃, GaI₃

BF₃

1986

14 Б1216. Па́раметрический подхóд к изучению си́ловых полей некоторых плоских молекул XY₃. Paramet-
ric approach to the force field study of some XY₃ planar
molecules. Mohan S., Durai S., Dwarakanathan S. P.
«Acta phys. pol.», 1986, A69, № 2, 319—324 (англ.)

Для расчета силовых полей молекул BF₃, BCl₃, BB₃,
BJ₃, FeCl₃, GaJ₃ симметрии D_{3h} применен параметрич.
подхóд, заключающийся в данном случае в использова-
нии экспериментально определенных амплитуд колеба-
ний помимо данных о геометрич. структуре и частотах
колебаний. Значения полученных силовых постоянных
 f_d , f_{dd} , f_α , $f_{d\alpha}$, f_δ (в 10^5 дн/см): BF₃ — 9,08159; —0,04543;
0,38948; —0,95329; 0,29431; BCl₃ — 3,88415; 0,34407;
0,14890; —0,17059; 0,13807; BB₃ — 4,87476; —0,58636;
0,23000; —0,78926; 0,09977; BJ₃ — 2,56199; 0,06859;
0,08583; —0,16549; 0,07908; FeCl₃ — 2,51862; —0,06749;
0,04034; —0,14276; 0,03255; GaJ₃ — 1,86760; —0,11187;
0,03639; 0,15502; 0,01544. Приведены также рассчитан-
ные постоянные кориолисова взаимодействия и центро-
бежного искажения.

В. М. Ковба

(45) 18

Bi, II.1,
авт. пост.,
геометр.,
структур.

X. 1986, 19, N 14

BF_3

(Om. 25383)

1986

Оценка

молекул.

кварцевых

мембран

и полимер-

Novick S.E.,

J. Phys. Chem., 1986, 90,
N 17, 3871-3873.

BF_3

Совместн.
анализ
электро-
коростр.
и спектр.
данных.

Спирidonов В. Г., Гер- 1986
шуков А. Г. и др.;
Исследование структуры
и экспрессии белка
изученных сортиз
и научных трудов Ивановского
химико-технологического
университета, Иваново, 1986,
53-64.
(есть в картотеке) 53-64

BF₃

DM-23392

1986

104: 195623b Molecular potential functions from joint analysis of gas electron diffraction and spectroscopic data. Spiridonov, V. P.; Gershikov, A. G. (Dep. Chem., Moscow State Univ., V-25; Moscow, USSR). *J. Mol. Struct.* 1986, 140(3-4), 173-91 (Eng.). A joint anal. of electron diffraction and spectroscopic data was made for BF₃, PBr₃, AsBr₃, SbCl₃, SeO₂, and ClO₂ in terms of the harmonic force fields. The scheme of anal. was extended to include the following spectroscopic observables: vibrational frequencies, rotational, Coriolis coupling and centrifugal distortion consts. and, whenever available, those for the isotopic species. For ClO₂ a simplified anharmonic anal. was also performed, the inharmonic spectroscopic observables being involved in this case. Compelling evidence is presented that the conventional harmonic approxn. for the force field in terms of rectilinear internal coordinates yields the simplest satisfactory representation of diffraction and spectroscopic observations. However, a consistently better fit to exptl. data was found when natural curvilinear internal coordinates were used. For the systems considered the joint anal. of data from various sources ensures that reliable and accurate values for equil. distances and force field parameters are obtained. The optimized values of spectroscopic consts., structural and force field parameters obtained are presented and compared with those available from the literature.

ROMERS. J.P.-KEL,
Di, JUL. NOCM

(15) 18

C.A. 1986, 104, N 22

BF₃

1986

№ 7 Д42. Получение информации о молекулярных потенциальных функциях с помощью совместного анализа данных по дифракции электронов и спектроскопических данных. Molecular potential functions from joint analysis of gas electron diffraction and spectroscopic data. Spiridonov V. P., Gershikov A. G. «J. Mol. Struct.», 1986, 140, № 3—4, 173—191 (англ.)

Для получения сведений о молекулярных потенциальных ф-циях BF_3 , PBr_3 , AsBr_3 , SbCl_3 , SeO_2 и ClO_2 в рамках приближения гармонических силовых полей проведен совместный анализ данных по дифракции

(III-A)

(5) IX

сф. 1986, 18, № 7

электронов и спектроскопич. результатов. Рассматривались колебательные частоты, вращательные константы, константы кориолисова взаимодействия и центробежного возмущения. Для ClO₂ проводился анализ с учетом ангармоничности колебаний. Наилучшее совпадение экспериментальных и расчетных данных получается при использовании в расчетах естественных криволинейных внутренних координат. Показано, что совместный анализ обеспечивает получение наиболее точных величин параметров рассмотренных молекул. Приводятся оптимизированные величины спектроскопич. констант, параметров структуры и силового поля.

Г. К.

BF₃

0723392

1986

13 Б1114. Молекулярные потенциальные функции из совместного анализа электронографических и спектральных данных. Molecular potential functions from joint analysis of gas electron diffraction and spectroscopic data. Spiridonov V. P., Gershikov A. G. «J. Mol. Struct.», 1986, 140, № 3—4, 173—191 (англ.)

Совместный анализ электронографич. и спектроскопич. данных проведен для BF_3 , PB_3 , AsBr_3 , SbCl_3 , SeO_2 и ClO_2 в терминах гармонич.-силовых полей. Из спектроскопич. данных учитывались частоты колебаний, вращательные, кориолисовы константы и постоянные центробежного растяжения, в т. ч. для изотопозамещ. соединений. Для ClO_2 проведен упрощенный ангармонич. анализ. Показано, что гармонич. приближение для силового поля в линеаризованных внутр. координатах позволяет удовлетворительно интерпретировать дифракционные и спектроскопич. данные. Существенно лучшее согласие с эксперим. данными достигнуто при использовании естественных криволинейных внутр. координат. Для всех рассмотренных систем совместный анализ данных различных методов гарантирует получение более надежных и точных значений равновесных расстояний и параметров силового поля. Б. Бутаев

*м.п., Di,
авт. лист.*

15

X.1986, 19, N 13

BF_3

[Om. 25007]

1986

ночного
сверхтес-
коэнергетиче-
ского
расщепления
радиоактив-
ных изотопов
аб initio
расчетов

Tossell J. A., Lazzaret-
ti P.

J. Phys. B: Atom and
Mol. Phys., 1986, 19,
N 20, ● 3217 - 3226.

BF₃

1986

У 21 Б1274. Изучение полосы v_3 молекулы BF_3 методом инфракрасно-микроволнового двойного резонанса с использованием перестраиваемого диодного лазера. Infrared-microwave double resonance spectroscopy of the v_3 band of BF_3 using a tunable diode laser. Yamamoto S., Kuchitsu K., Nakanaga Harutoshi T., Matsumura Chi, Takami M. «J. Chem. Phys.», 1986, 84, № 11, 6027—6033 (англ.) Место хранения ГПНТБ СССР

Исследован чисто вращат. спектр неполярной молекулы BF_3 в основном и возбужденном ($v_3=1$) колебат. состояниях методом двойного ИК—МВ-резонанса с использованием полупроводникового диодного лазера для накачки ИК-переходов: вращат. спектр основного состояния появляется за счет центробежного искажения, а возбужденного состояния — за счет мех. и электрооптич. ангармоничности. В диапазоне 20—53 ГГц идентифи-

М.Н.

X. 1986, 19, № 21

цированы линии 55 переходов с $J \leq 29$ состояния $v_3 = 1$ $^{10}\text{BF}_3$, 50 переходов с $J \leq 22$ $^{11}\text{BF}_3(v_3=1)$ и 6 переходов ($J \leq 39$) основного состояния $^{10}\text{BF}_3$. При анализе спектров привлечены также лит. данные по вращат. структуре ИК-полосы v_3 (1506 см^{-1}) и частоты ранее измеренных МВ-спектров основного состояния. Анализ проведен с учетом резонансов Ферми между v_3 и $3v_3$ и между v_3 и $v_1 + v_4$. Определены значения колебат. вращат. постоянных. В частности для вращат. и центробежных постоянных основного состояния получены величины: $C_0 = 0,1721658$, $B_0 = 0,345008$, $D_J = -0,4338 \cdot 10^{-6}$, $D_{JK} = -0,7530 \cdot 10^{-6}$, $D_K = 0,3526 \cdot 10^{-6}$, Δ_3 (константа $K = 3$ -удвоения) $= 0,1791 \cdot 10^{-12}$ (все в см^{-1}). Е. В. Алиева

BF₃

1986

7 Л182. ИК-диодно-лазерная спектроскопия полосы v_2 BF_3 . Infrared diode laser spectroscopy of the v_2 band of BF_3 . Yamamoto Satoshi, Kuwabara Rika, Takami Michio, Kuchitsu Kozo. «J. Mol. Spectrosc.», 1986, 115, № 2, 333—352 (англ.)

Методом диодно-лазерной спектроскопии в области 740—650 см^{-1} исследованы ИК-спектры поглощения колебательно-вращательных полос v_2 , $v_2 + v_4 - v_4$, $2v_2 - v_2$, $^{10}\text{BF}_3$, $^{11}\text{BF}_3$ и $v_1 + v_2 - v_1$ $^{11}\text{BF}_3$. При комнатной т-ре и давл. BF_3 0,1—1,0 мм рт. ст. с разрешением, ограниченным доплеровским пределом ($0,001 \text{ см}^{-1}$), измерены положения вращательных линий и с учетом *l*-резонансных взаимодействий между v_4 и $v_2 + v_4$ выполнен анализ наблюдаемых вращательных структур. Определены положения начала полос и значения молекулярных постоянных $^{10}\text{BF}_3$, $^{11}\text{BF}_3$ для ряда возбужденных колебательных состояний. Найдены значения некоторых кубических постоянных силового поля и равновесного расстояния $\text{B}-\text{F}$, 1,3070 Å.

В. К.

Ф. 1986, 18, № 7.

BF₃

1986

№ 10 Л141. Изучение спектра ИК-микроволнового двойного резонанса полосы ν_3 молекулы BF_3 с использованием перестраиваемого диодного лазера. Infrared-microwave double resonance spectroscopy of the ν_3 band of BF_3 using a tunable diode laser. Yamamoto Satoshi, Kuchitsu Kozo, Nakanaga Taisuke, Takeo Nagatoshi, Matsumura Chi, Takami Michio. «J. Chem. Phys.», 1986, № 84, № 11, 6027—6033 (англ.)

Методом двойного ИК-МВ-резонанса с использованием перестраиваемого диодного лазера для накачки ИК-переходов исследован чисто вращательный спектр первого возбужденного состояния (1454 см^{-1}) колебания ν_3 молекулы BF_3 , разрешенный за счет электрооптического и механич. ангармонизма. Идентифицирова-

М.Л.

сф. 1986, 18, № 10

ны линии переходов с $\Delta K = \pm 1$, $\Delta l = \mp 2$, $\Delta J = 0 \pm 1$ с $J \leq 29$, $K \leq 9$ $^{10}\text{BF}_3$ и $J \leq 22$, $K \leq 11$ $^{11}\text{BF}_3$ в состоянии с $v_3 = 1$ и 6 переходов с $J \leq 39$, $K \leq 3$, $\Delta K = -3$ основного колебательного состояния $^{10}\text{BF}_3$. Анализ спектров выполнен совместно с литер. данными по ИК-спектрам полосы v_3 и по МВ-спектрам основного состояния с учетом резонанса Ферми между v_3 и $v_1 + v_4$ и между $3v_3$ и $3v_4$. Определены значения вращательных и центробежных постоянных, постоянных кориолисового взаимодействия и l -удвоения, резонансных параметров. M. R. Алиев

BF₃

Om. 24681)

1986

(P₃)

ICR-146
yboičhou
pejoharc
C.A. 1986, 105, N.Y

105: 32017p Infrared-microwave double resonance spectroscopy of the ν_3 band of trifluoroborane (BF_3) using a tunable diode laser. Yamamoto, Satoshi; Kuchitsu, Kozo; Nakanaga, Taisuke; Takeo, Harutoshi; Matsumura, Chi; Takami, Michio. (Fac. Sci., Univ. Tokyo, Tokyo, Japan 113). *J. Chem. Phys.* 1986, 84(11), 6027-33 (Eng). Pure rotational transitions allowed by vibrationally induced dipole moment were obstd. in the ν_3 state (E') of $^{10}BF_3$ by IR-microwave ODR using a tunable diode laser. The obstd. rotational transitions were analyzed simultaneously with the IR vibration-rotation transitions and pure rotational transitions in the ground state to obtain the mol. consts. for the ground and ν_3 states. The C₀ and D_K consts. are 0.172 165 83(8) and $3.526(14) \times 10^{-7}$ cm⁻¹, resp. Rotational transitions in the ν_3 state of $^{11}BF_3$ reported previously were also analyzed with IR vibration-rotation transitions including the Fermi resonance with $3\nu_4$.

BF₃

(On. 23280)

1986

104; 118869j Infrared diode laser spectroscopy of the ν_2 band of boron trifluoride. Yamamoto, Satoshi; Kuwabara, Rika; Takami, Michio; Kuchitsu, Kozo (Fac. Sci., Univ. Tokyo, Tokyo, Japan 113). *J. Mol. Spectrosc.* 1986, 115(2), 333-52 (Eng.). The vibration-rotation spectra of the ν_2 , $\nu_2 + \nu_4 - \nu_4$, and $2\nu_2 - \nu_2$ bands for ¹⁰BF₃ and ¹¹BF₃, and the $\nu_1 + \nu_2 - \nu_1$ band for ¹¹BF₃ were measured by a tunable diode laser with Doppler-limited resoln. (0.001 cm⁻¹). The $\nu_2 + \nu_4 - \nu_4$ band is perturbed significantly by the *l*-resonance interactions in the ν_4 and $\nu_2 + \nu_4$ states. By analyzing this interaction explicitly, the *l*-type doubling consts. for the ν_4 state of ¹⁰BF₃ and ¹¹BF₃ and ¹¹BF₃ were 0.000694(4) and 0.000670(3) cm⁻¹, resp. The equil. B-F distance, 1.3070(1) Å, and several cubic force consts. were obtained from the detd. rotational consts.

(IK enkmp)

C.A. 1986, 104, N 14.

BF₃

1987

9 Б4313. Спектроскопия двойного (ИК-СВЧ) резонанса ν_3 -полосы $^{11}\text{BF}_3$ с использованием перестраиваемого диодного лазера. Nakamura T., Takeo H., Matsumura S. «Кагаку гидзюцу кэйкюдзё хококу, J. Nat. Chem. Lab. Ind.», 1987, 1987, 82, № 10, 451—456 (яп.; рез. англ.)

Изучены чисто вращат. переходы за счет колебательно-индуцируемого дипольного момента (КИДМ) в состоянии $\nu_3(E')$ $^{11}\text{BF}_3$. Применен метод двойного — ИК—СВЧ-резонанса с использованием перестраиваемого диодного лазера. Измеренный по уширению линий КИДМ равен 0,04D. Измерена вращат. постоянная $C_0 = 5161,4$ (6) МГц. Аналогичную публикацию авторов см. «J. Chem. Phys.», (1985), 83, 1444. Л. Ю. Мельников

*вращат-
постоян.*

X·1988, 19, № 9

BF₃

1987

15 Б1238. Чисто вращательный спектр трифторида бора-¹¹B по данным микроволновой фурье-спектроскопии. Pure rotational spectrum of boron trifluoride-¹¹B observed by microwave Fourier transform spectroscopy. Oldani M., Bauder A. «J. Chem. Phys.», 1987, 86, № 2, 624—628 (англ.)

На микроволновом (МВ) фурье-спектрометре высокой чувствительности в области частот 12—18 ГГц с разрешением около 200 кГц измерен вращат. спектр трифторида бора, ¹¹BF₃, в основном колебат. состоянии. Спектр поглощения неполярной молекулы индуцирован за счет центробежного искажения и представляет собой первый непосредственно измеренный чисто вращат. спектр неполярной молекулы типа симм. волчка XY₃ в МВ-области частот. Анализ МВ-спектра выполнен с учетом квартичного и секстичного центробежного искажения. Вращат. постоянные (МГц): равны $B=10344,057$ (15) и $C=5161,6371(79)$. Полученные МВ-результаты существенно уточняют ранее измеренные на основе ИК-данных.

С. Н. Мурзин

X. 1987, 19, N 15

1987

BF₃

- 8 Л177. Чисто вращательный спектр трифтторида бора — ¹¹B, наблюдаемый в микроволновой спектроскопии преобразования Фурье. Pure rotational spectrum of boron trifluoride — ¹¹B observed by microwave Fourier transform spectroscopy. Oldani M., Bauder A. «J. Chem. Phys.», 1987, 86, № 2, 624—628 (англ.)

В микроволн. области частот (14—17 ГГц) измерены частоты чисто вращательных переходов плоской молекулы ¹¹BF₃ с симметрией D_{3h} в основном колебательном состоянии. Измеренные переходы подчиняются правилам отбора $\Delta k = \pm 3$, где k — квантовое число проекции углового момента молекулы на ось симметрии. Экстремально слабые переходы Q-, R- и P-ветвей наблюдались с использованием импульсного микроволн. фурье-спектрометра. Ветвь Q между $k = \pm 1$ и $k = \mp 2$ отнесена к переходам с числами J от $J = 11$ до $J = 50$, где J — квантовое число углового момента молекулы. Идентифицированы переходы R- и P-ветвей с числами J между 17 и 45 и с числами k между 10 и 32. Частоты измеренных 60 переходов приведены в таблице и соотнесены с молекулярными постоянными B , $C - B$, D_J , D_{Jk} , D_k , H_J , H_{Jk} , H_{kJ} и H_k .

B. A. Морозов

*III.**оф. 1987, 18, № 8*

$^{11}\text{BF}_3$

1987

106: 75264e Pure rotational spectrum of boron trifluoride- ^{11}B observed by microwave Fourier transform spectroscopy. Oldani, M.; Bauder, A. (Lab. Phys. Chem., Eidg. Tech. Hochsch. Zurich, CH-8092 Zurich, Switz.). *J. Chem. Phys.* 1987, 86(2), 624-8 (Eng). Pure rotational transitions of $^{11}\text{BF}_3$ in the ground vibrational state with $\Delta k = \pm 3$ selection rule were measured between 14 and 17 GHz. The extremely weak transitions were obsd. with a pulsed microwave Fourier transform spectrometer. The Q subbranch between $k = \pm 1$ and ∓ 2 was assigned for transitions with $J = 11$ to 50. In addn., an R and a P subbranch were identified for transitions with J between 17 and 45 and k between 10 and 32. A total of 60 measured transition frequencies was combined in a least squares fit of the mol. consts. $B, C-B, D_J, D_{KK}, D_K, H_J, H_{JK}, H_{KJ}$, and H_K .

mems fra -
K. S. AM · CRK/P,
M. N.

C. A. 1987, 106, N10

1988

 BF_3

№ 21 Б1142. Инфракрасный спектр матрично-изолированного димера трифтотида бора, неэмпирические расчеты и попытка отнесения. Matrix isolation infrared spectrum and ab initio calculations of the boron trifluoride dimer. Tentative assignments. O'Neill F.M.M., Yeo G. A., Ford T. A. «J. Mol. Struct.», 1988, 173, 337—348 (англ.)

Получены ИК-спектры BF_3 (I) в матрице N_2 при ~20 К. Варьирование конц-ии I, эксперименты с разогреванием и повторным охлаждением матрицы, а также учет изотопного расщепления $^{10}B/^{11}B$ позволили произвести отнесение полос, принадлежащих мостиковому димеру $(BF_3)_2$ симметрии D_{2h} (II). Неэмпирич. методом ССП МО в базисе 4-31ГФ проведен расчет гармонич. колебат. частот и интенсивностей I и II.

В. Я. Беспалов

(4)⊗

 $(BF_3)_2$

X. 1988, 19, N 21

BF₃

1989

№ 12 Б1193. Проявление эффектов вибронного взаимодействия в Не-I фотоэлектронном спектре BF_3 с высоким разрешением. Vibronic coupling effects observed in the high-resolution He(I) photoelectron spectra of BF_3 / Hagenow G., Hottmann K., Baumgärtel H. // Chem. Phys. Lett.—1989.—164, № 4.—С. 395—399.—Англ.

С высоким разрешением ≈ 15 мэВ исследован фотоэлектронный спектр молекул BF_3 с использованием в кач-ве источника возбуждения резонансной линии Не-I. В спектре обнаружены: колебат. структура (КС) полосы $^1A'_2$ (вертикальная энергия ионизации $E_b = 15,9$ эВ) и дополнит. третья серия уровней в обл. полосы $2E'$ ($E_b = 20,08$ эВ). Тонкая структура полосы $^1A'_2$ с интервалами между компонентами $\Delta E = 0,025$ эВ отнесена к неадиабатич. вибронному взаимодействию между первыми тремя состояниями BF_3^+ : 1A_2 , E'' и $3E'$. Дополнит. структура полосы $2E'$ с $\Delta E = 0,092$ эВ отнесена к ян-теллеровскому взаимодействию соседних ионных состояний $2E'$ и $2^1A'_2$. О. А. Басченко

(д.н.)

Х. 1990, N 12

BF₃

1989

112: 65920a Vibronic coupling effects observed in the high-resolution helium (He I) photoelectron spectra of trifluoroborane. Hagenow, G.; Hottmann, K.; Baumgaertel, H. (Inst. Phys. Theor. Chem., Freie Univ. Berlin, D-1000 Berlin, Fed. Rep. Ger.). *Chem. Phys. Lett.* 1989, 164(4), 395-9 (Eng). The He I photoelectron spectrum of BF₃ was measured with an electron energy resoln. of better than 15 meV. The 1A₂' PE band (IP_{vert} = 15.92 eV) reveals vibrational fine structure with intervals of 0.025 eV. For the 2E' PE band (IP_{vert} = 20.08 eV), an addnl. 3rd progression with intervals of 0.092 eV was obsd. The results are discussed on the basis of vibronic interaction between electronic states using symmetry arguments.

*Q1M07REKMF
CREMPS,*

M.N.

C.A. 1990, 112, N8

BF₃

(M 32621)

1989

111: 36471z High resolution Fourier transform infrared spectra of boron-10-labelled boron trifluoride. Zeisberger, Eduard; Ruoff, Andreas (Sekt. Schwingungsspektrosk., Univ. Ulm, D-7900 Ulm, Fed. Rep. Ger.). *J. Mol. Spectrosc.* 1989, 136(2), 295-316 (Eng). The IR spectra of the ν_2 , ν_3 , ν_4 , $\nu_1 + \nu_4$ and $2\nu_2 - \nu_2$ bands of 95% $^{10}\text{BF}_3$ were measured by means of a Fourier transform spectrometer with a resoln. of $\sim 0.004 \text{ cm}^{-1}$. A total of $\sim 12,500$ rovibrational transitions were assigned. The shifts of the $K'' = 3$ transitions due to the splitting operators h_{06} and h_{24} were obsd. for the ν_3 , ν_4 , and $\nu_1 + \nu_4$ bands. Ground state consts. and parameters for the excited states $\nu_2 = 1$, $\nu_3 = 1$, $\nu_4 = 1$, and $\nu_2 = 2$ were improved. The parameters for the excited state $\nu_1 = \nu_4 = 1$ were obtained for the 1st time. Moreover, the splitting consts. Δ_3^0 , t_3 , t_4 , t_{14} , and their signs were detd. unambiguously. Spectroscopic consts. for the $\nu_1 = 1$ state were deduced as well as the consts. x_{22} , η_{14} , B_e , and C_e .

(D i)

c.A.1989, III, N10

BF₃

Он 32621

1989

9 Б1314. Инфракрасные фурье-спектры высокого разрешения BF_3 , меченого ^{10}B . High resolution Fourier transform infrared spectra of ^{10}B -labelled BF_3 / Zeisberger E., Ruoff A. // J. Mol. Spectrosc.— 1989.— 136, № 2.— С. 295—316.— Англ.

На ИК-фурье-спектрометре в обл. частот 425—1420 см^{-1} с разрешением 0,0035—0,0048 см^{-1} с точностью 0,0002 см^{-1} измерен колебательно-вращат. спектр $^{10}\text{BF}_3$. Идентифицировано около 12 500 колебательно-вращат. переходов, принадлежащих полосам v_2 , v_3 , v_4 , v_1+v_4 и $2v_2-v_2$. Анализ ИК-спектра выполнен с учетом квартичного и секстичного центробежного искажения и сдвига переходов $K''=3$ для полос v_3 , v_4 и v_1+v_4 . Для состояний $v_1=1$ и $v_4=1$ молек. постоянные определены впервые, для остальных состояний существенно уточнены по сравнению с ранее выполненными измерениями. Результаты для $^{11}\text{BF}_3$ будут опубликованы отдельно.

С. Н. Мурзин

окт. 1990, № 9

BF_3 1990
Reed A.E., von Rague'
Schleyer P.

(edzop) J. Amer. Chem. Soc. 1990,
112, NY, C. 1434-1445.

(corr. F_3SiF ; \underline{III})

1990

BF_3

113: 141226s Photoabsorption and fluorescence spectroscopy of trifluoroborane in the extreme-vacuum-ultraviolet region. Suto, Masako; Ye, C.; Lee, L. C. (Dep. Electr. Comput. Eng., San Diego State Univ., San Diego, CA 92182 USA). *Phys. Rev. A* 1990, 42(1), 424-31 (Eng). Absorption and fluorescence cross sections of BF_3 were measured in the 45-113-nm region. Partial ionization cross sections are derived from the absorption cross section and the known branching ratios and then compared with theor. calcns. The absorption spectrum shows many vibrational progressions and broad bands that are attributed to the Rydberg and/or valence transitions. Fluorescence from excited BF_2^* is obsd. from photoexcitation of BF_3 . The fluorescence quantum yield shows two repulsive excited states that give max. yields of 34% at 88 nm and 20% at 96 nm. These two states produce four BF_2^* emission bands that are distinguished by different fluorescence spectra and radiative lifetimes. The photoexcitation processes that lead to fluorescence and ionization are discussed.

24) BF_2

C.A. 1990, 113, N 16

БФЗ

1991

8 Б1019. Шкала льюисовской кислотности тригалогенидов бора. Неэмпирическое исследование. The Lewis acidity scale of boron trihalides. An ab initio study / Branchadell Vicenc, Oliva Antonio // J. Mol. Struct. Theochem. — 1991. — 236, № 1—2. — С. 75—84. — Англ.

Неэмпирическим методом ССП с использованием базисных наборов 3—21 ГФ, MIDI-3, 6—31 ГФ*, а также базисов 3—21 ГФ и MIDI-3, дополненных поляризац. d -ф-циями на галогенидных атомах, проведены расчеты электронного и геометрического строения тригалогенидов бора BF_3 (I), BCl_3 (II) и BBr_3 (III). Энергии I—III уточнены расчетами с учетом эффектов электронной корреляции в рамках теории возмущений Меллера—Плессета второго порядка. Табулированы значения равновесных геометрич. параметров, энергий нижней вакантной МО, орбитальных заселеностей и энергий пирамидализации, полученные на разных уровнях расчета. Показано, что рост льюисовской к-тиности при переходе от BF_3 к BBr_3 может быть понят в терминах сродства к электрону и природы связи бор-галогенидный атом. И. Н. Сенченя



(т2)

X/1992, №

BF₃

1991

Di pacem

115: 290061c The vibrational spectra of the boron halides and their molecular complexes. Part 1. Ab initio predictions of the vibrational spectra of boron trifluoride, chlorodifluoride, fluorodichloride and trichloride. Nxumalo, L. M.; Ford, T. A. (Cent. Mol. Des., Univ. Witwatersrand, Johannesburg, 2050 S. Afr.). *THEOCHEM* 1991, 82(1-2), 135-59 (Eng). The intramol. vibrational band wavenos. and IR and Raman intensities of boron trifluoride, chlorodifluoride, fluorodichloride and trichloride were computed using ab initio MO theory, at the self-consistent-field and second order Moeller-Plesset levels of theory, employing the 6-13G* basis set. The calcd. results were compared with exptl. ones, where available. Force consts., dipole moment derivs. and at. polar tensors were derived and trends in their values, and in those of the wavenos. and intensities, were rationalized on the basis of the varying mol. electronic properties resulting from successive fluorine-chlorine substitution.

(+3) ~~R~~

BClF₂

BFCl₂, BCl₃

C.A. 1991, 115, n 26,

BF₃

1991

№ 3 Д60. Колебательные спектры галогенидов бора и их молекулярных комплексов. Часть I. Неэмпирические расчеты колебательных спектров трифторида, хлородифторида, фтордихлорида и трихлорида бора. The vibrational spectra of the boron halides and their molecular complexes. Part 1. Ab initio predictions of the vibrational spectra of boron trifluoride, chlorodifluoride, fluorodichloride and trichloride / Nxumalo L. M., Ford T. A. // J. Mol. Struct. Theochem. — 1991. — 236, № 1—2. — С. 135—159. — Англ.

С использованием метода Меллера — Плессета 2-го порядка в базисе 6-31 ГФ* рассчитаны волн. числа полос внутримолекулярных колебаний, а также ИК- и КР-интенсивности молекул BF₃, BCIF₂, BFCI₂ и BCI₃. Рассчитаны силовые постоянные и дипольные моменты. Тенденции в изменениях всех рассчитанных величин обсуждаются с точки зрения изменений молекулярных электронных свойств, обусловленных последовательным замещением F на Cl..

(f3)

Ф 1992, N 3.

BF₃

1991

22 Б1046. Множество состояний дикатиона и анализ заселеностей двухдырочных состояний как мостик к пониманию спектров Оже: сильная локализация в BF_3 . Many dicationic states and two-hole-population analysis as a bridge to Auger spectra: Strong localization phenomena in BF_3 / Tarantelli F., Sgamellotti A., Cederbaum L. S. // J. Chem. Phys.— 1991.— 94, № 1.— С. 523—532.— Англ.

Методом ф-ции Грина рассчитаны частоты и вероятности 100 переходов, отвечающих двойной ионизации молекул BF_3 из внеш. валентной оболочки. Результаты расчетов использованы для обсуждения эффекта локализации образующихся при ионизации дырочных состояний и ее проявлений в оже-спектрах. Отмечена невозможность описания этой локализации в рамках приближений, не учитывающих корреляцию электронов. Развит новый статистич. подход к расчету формы линий в оже-спектрах, основанный на анализе заселенностей двухдырочных состояний. Развитый подход с успехом применен к неэмпирич. расчету оже-спектров фтора и бора (*KLL*) в молекуле BF_3 , что позволило полностью интерпретировать известные эксперим. данные.

В. Б. Павлов-Веревкин

и.П
X.1991, N 22

БЕ
БТЗ

1991

3 Д61. Декартова динамика простых молекул. VIII.
Планарные четырехатомные молекулы (симметрия D_{3h}).
Cartesian dynamics of simple molecules. VIII. Planar
quadratomics (D_{3h} symmetry) / Weng S. X., Bin-
brek O. S., Anderson A. // Spectrosc. Lett.— 1991.— 24,
№ 7—8.— С. 959—973.— Англ.

Анализируются колебания планарных молекул типа A_3B симметрии D_{3h} путем рассмотрения этих молекул как особого случая молекул типа A_2BC симметрии C_{2v} . В терминах 4 силовых постоянных получены аналитич. выражения для частот 4 норм. мод колебаний. Для тригалогенидов бора и трехокиси серы определены оптимизированные величины силовых постоянных. Рассчитаны частоты колебаний различных изотопич. модификаций этих молекул.

☒ (1)

SO_3



φ. 1992, №3.

BF₃

Om . 36650

1992

19 Б1169. Силовые постоянные, константы кориолисова взаимодействия и особенности строения тригалогенидов типа XY₃(D_{3h}) /Ежов Ю. С. //Ж. физ. химии .—1992 .—66 ,№ 5 .—С. 1405—1409 .—Рус.

На основе эксперим. данных рассчитаны полные наборы постоянных гармонич. валентного силового поля молекул типа XГ₃ (X=B, Al, Ga, In; Г=F, Cl, Br, I), а также CrCl₃ и FeCl₃. Обсуждены зависимости силовой постоянной τ , и средней энергии разрыва связи от межъядерного расстояния R (ХГ), а также зависимость постоянной кориолисова вз-вия ξ_3 от масс центр. и концевого атомов. Показано, что модель эффективных ядерных зарядов лишь качественно описывает силовое поле указанных молекул.

М.Н.

(17) □

X. 1993, N 19



Bil₃, BBr₃, BiI₃, AlF₃,
AlCl₃, AlBr₃, AlI₃, BaF₃,
(СИ. № 81)

falls, fabris, fabris, falls, Infs, gills,
Infs, Infs, Crils, Fells

BF_3

OM 36650

1.992

1 Д63. Силовые постоянные, константы кориолисова взаимодействия и особенности строения тригалогенидов типа XY₃, (D_{3h}) / Ежов Ю. С. // Ж. физ. химии —

1992 — 66, № 5 — С. 1405—1409 — Рис.

На основе эксперим. данных рассчитаны полные наборы постоянных гармонич. валентного силового поля молекул типа $X\Gamma_3$ ($X=B, Al, Ga, In; \Gamma=F, Cl, Br, I$), а также $CrCl_3$ и $FeCl_3$. Обсуждены зависимости силовой постоянной f , и средней энергии разрыва связи от межъядерного расстояния R ($X\Gamma$), а также зависимости постоянной Кориолисова взаимодействия ζ_3 от масс центрального и концевого атомов. Показано, что модель эффективных ядерных зарядов лишь качественно описывает силовое поле указанных молекул.

M-N-

4

१

Bcl₃

B32

BBr₂

8

93

115

App

2

BF_3

Om 3665D

1992

117: 178699g Force constants and coriolis interaction constants for the structures of XY_3 , (D_{3h}) trihalides. Ezhov, Yu. S. (Inst Vys. Temp., Moscow, Russia). *Zh. Fiz. Khim.* 1992, 66(5), 1405-9 (Russ). The consts. were calcd. of the harmonic valence force fields of XY_3 mols. (X = B, Al, Ga, In; Y = F, Cl, Br, I), $CrCl_3$, and $FeCl_3$ by using exptl. data. The dependencies of the force consts. and the av. bond-dissoen. energy on the internuclear distance and of the interaction consts. on at. masses were considered. The active-nuclear-charge model only qual. describes the mol. force

Ref. No CII

(79) 127

C.A. 1992, 117, N 18

BF₃

1993

11 Б1139. Спектроскопия возбуждения вакуумной УФ-флуоресценции BF₃ в области 45—125 нм. Наблюдение новых электронных переходов в свободном радикале BF₂. Vacuum UV fluorescence excitation spectroscopy of BF₃ in the range 45—125 nm. Observation of new electronic transitions in the BF₂ free radical /Creasey I. C., Hatherly P. A., Jones H. M., Lambert I. R., Tuckett R. P. //Mol. phys.—1993.—78 № 4.—С. 837—854.—Англ.

Измерены спектры ФЛ, возникающие при возбуждении молекул BF₃ в результате столкновений с метастабильными атомами He*(2³S) (детектирование диспергированной ФЛ) либо перестраиваемым вакуумным УФ-излучением синхротронного источника (детектирование недиспергированной ФЛ). В первом случае наблюдались две развитые прогрессии полос в области 200—300 нм, разде-

м.н.

□

(7)

Х. 1994, NII

ленных интервалом 525 ± 30 см⁻¹ и отнесенных к деф. кол. v_2BF_2 в состоянии x^2A_1 (вероятное отнесение перехода — $A^3B_1 \rightarrow X^2A_1$). Во втором случае при возбуждении в области 10—28 эВ наблюдалось два различных канала флуоресцентного распада: ФЛ BF_2 при энергиях возбуждающих фотонов ниже 17 эВ и ФЛ BF_3^+ при энергиях больше 21,5 эВ. Первый процесс идет через ридберговы состояния BF_3 ; второй — нерезонансный процесс ионизации с образованием иона в состоянии E^2A_1 . Библ. 33. В. М. Ковба

BF₃

1993

120: 147445d The vibrational spectra of the boron halides and their molecular complexes Part 2. Ab initio predictions of the structure and vibrational spectra of the boron trifluoride dimer. Nxumalo, L. M.; Ford, T. A. (Centre for Molecular Design, Department of Chemistry, University of the Witwatersrand, Johannesburg, Wits, 2050 S. Afr.). *J. Mol. Struct.* 1993, 300(1-3), 325-38 (Eng). Ab initio MO calcns. were performed on a no. of isomers of the dimer of B trifluoride, at the Hartree-Fock level of theory and using the 6-31G* split-valence polarized basis set, to identify the most probable structure of this dimer and to predict the wavenumbers and band intensities of its IR and Raman spectra. The min. energy structure consists of 2 B trifluoride monomer units which retain the planarity of the monomer species, the 2 planes lying parallel to 1 another in a centrosym. arrangement of C_{2h} symmetry. The results will be used in an anal. of some new IR data obtained for samples of this species isolated in Ar and N matrixes.

*Pi, Clal. ROCM
CNPYKNGA,
MeOp. pacem*

c.A. 1994, 120, N12

BF3

1993

✓ 22 Б1145. Силовые постоянные и средние амплитуды колебаний некоторых плоских и пирамидальных молекул типа XY_3 . Force constants and mean amplitudes of vibration for some planar and pyramidal molecules of type XY_3 /Singh Prem, Dublish A. K. //Indian J. Pure and Appl. Phys. .—1993.—31 ,№ 3 .—С. 193—194 .—Англ.

В приближении расширенной L-матрицы, предложен-
ной в работе //Z. Naturforsch .—1972 .—27 .—С. 129, рас-
считаны силовые постоянные молекул XY_3 симметрии
 D_{3h} ($X=B, Ga, Al; Y=F, Cl, Br, I$) и C_{3v} ($X=N, P, As, Sb;$
 $Y=F, Cl, Br, I$). Средние амплитуды колебаний молек.
конформаций C_{3v} сопоставлены с соотв-щими величинами
для димеров. Получена линейная зависимость между си-
ловыми постоянными для валентных колебаний в моно-
мерах с $X=As$ и Sb и аналогичными постоянными в моле-
кулах с $X=P$.

Н. С.

427

☒

Х. 1994, № 2%

BF₃

1994

121: 21114x Harmonic force constants of boron trihalides and some mixed halides of boron. Anacona, Juan Roberto; Lorono, Marcos (Dep. Quim., Univ. Oriente, Cumana, Venez.). THEOCHEM 1994, 110(3), 279-34 (Eng). A reliable set of harmonic force consts. was calcd. for BF₃, BCl₃, BBr₃, BI₃, BF₂Cl, BF₂Br, BCl₂F, BCl₂Br, BBr₂F, and BBr₂Cl using the obsd. vibrational frequencies of these compds. (contg. ¹⁰B or ¹¹B isotopes) and the iterative consistency method. The final force field reproduces quite satisfactorily the exptl. frequencies. Some of the principal stretching force consts. were found to vary systematically with the electronegativity of the halogen.

(7i, Jul. 1994)

(49) 12



c.a. 1994, 121, N 2

1994.

BF₃

19 Б1036. Гармонические силовые постоянные тригалогенидов бора и некоторых смешанных галогенидов бора.

Harmonic force constants of boron trihalides and some mixed halides of boron /Anacona Juan Roberto, Loroño Marcos //J. Mol. Struct. Theochem. —1994 .—304 ,№ 3 .—С. 279—284 .—Англ.

Рассчитаны силовые постоянные BF₃, BCl₃, BBr₃, BJ₃, BF₂Cl, BF₂Br, BCl₂F, BCl₂Br, BBr₂F и BBr₂Cl с использованием итерац. метода, полученного Панченко и др., и наблюдаемых колебат. частот этих соединений и их ¹⁰B- и ¹¹B-изотопозамещенных. Конечное силовое поле хорошо воспроизводит эксперим. частоты. Найдена корреляция между нек-рыми валентными силовыми постоянными и электроотрицательностью атома галогена. Расчет подтвердил надежность итерац. метода для расчета силовых постоянных ряда молекул без использования произвольных предположений, связанных с недиагональными элементами матрицы F_0 .

Н. С.

М.Н.

Д

(79)

Х. 1994, №19.

BF_3

1994

Liu Yi, Li Yenir.

Beijing Daxue Xue
ceul. nosū., bao, Ziran Kexue-
xueyuan., meop.
pracem

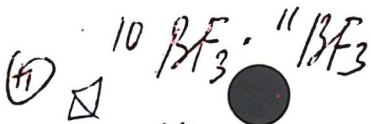
(ceel. CO_2 ; \underline{II})

BF₃

1994

120: 310080s Infrared spectrum of the boron trifluoride dimer.
Nxumalo, L. M.; Ford, T. A. (Cent. Mol. Des., Univ. Witwatersrand,
Wits, 2050 S. Afr.). *Vib. Spectrosc.* 1994, 6(3), 333-43 (Eng).
The IR spectra of BF₃ isolated in N and Ar matrixes were recorded.
The spectra were interpreted from the formation of a bridged dimer
of C_{2h} symmetry, as predicted by a recent ab initio MO study.
Reasonable assignments were made for all 6 IR active modes of the
most abundant isotopomer, (¹¹BF₃)₂, expected to appear $\gtrsim 400$ cm⁻¹, 8
bands of the mixed isotopic species, ¹⁰BF₃.¹¹BF₃, and 5 of the least
abundant dimer, (¹⁰BF₃)₂. The monomer-dimer waveno. shifts are
consistent with the occurrence of a weak electron donor-acceptor
interaction, which was predicted by the theor. calcns.

(UK &
manuscr)



C.A. 1994, 120, N 24

BF_3 .

1995

Copy X Mypa

u

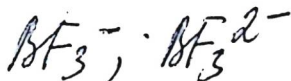
Hypurul

cbuque,

meoplem-

pacem

124: 156373p Preliminary calculations on the potential stability of BF_3^- , and BF_3^{2-} . Ball, David W. (Department of Chemistry, Cleveland State University, Cleveland, OH 44115 USA). THEOCHEM 1995, 358, 95-8 (Eng). Ab initio MP2/6-311+G* energies and structures of BF_3 , BF_3^- , and BF_3^{2-} were calcd. to det. the potential stability of boron fluoride ions. Ion pairs with alkali atoms suggest that such salts may be stable.



(1) 8



C. A. 1996, 124, n12.

BF₃

1995

F: BF₃

P: 3

2Б155. Теоретическое исследование и анализ взаимодействий в BF[3], BCl[3], AlF[3] и AlCl[3] с помощью многоцентрового разложения.
Theoretical characterization and many-body expansion analysis of BF[3], BCl[3], AlF[3] and AlCl[3] interactions / Shalabi A. S., Kamel K. A., Assem M. M. // Theor. chim. acta. - 1995. - 91, N 1 - 2. - C. 73-81. Англ.

Неэмпирическим методом ССП МО ЛКАО в базисе 6-311+ГФ(d) рассчитана равновесная геометрия AX[3]; A=B, Al; X=F, Cl. Проведен анализ полной энергии вз-вия с помощью многоцентрового разложения. Обсуждена сходимость разложения, величины коротко- и дальнодействующих вкладов, проведен теоретико-групповой анализ.

Р.Ж.Х. № 2, 1996.

BF₃

1995

F: BF₃

P: 3

06.Д.0196. Теоретическое исследование и анализ взаимодействий в BF₃, BCl₃, AlF₃ и AlCl₃ с помощью многоцентрового разложения.
Theoretical characterization and many-body expansion analysis of BF₃, BCl₃, AlF₃ and AlCl₃ interactions / Shalabi A. S., Kamel K. A., Assem M. M. // Theor. chim. acta. - 1995. - 91, N 1-2. - C. 73-81. Англ.

С помощью матричного метода Хартри - Фока изучены взаимодействия металлоид - неметалл и металл - неметалл в BF₃, BCl₃, AlF₃ и AlCl₃. Проанализированы структурные и энергич. параметры, сходимость многоцентрового разложения, коротко- и дальнодействующие компоненты энегрий взаимодействия и теоретико-групповые параметры.

X. 1996, N6

BF₃

1997

127: 25136c Anharmonic force fields and spectroscopic properties of BF₃ and CF₃⁺, using the coupled cluster method. Pak, Youngshang; Woods, R. Claude (Department of Chemistry, University of Wisconsin-Madison, Madison, WI 53717 USA). *J. Chem. Phys.* 1997, 106(15), 6424-6429 (Eng), American Institute of Physics. Anharmonic force fields and rovibrational spectroscopic properties of BF₃ and CF₃⁺ were studied, using the coupled cluster method with single and double substitutions augmented by a perturbative est. of triple excitations [CCSD(T)] with a basis set of 120 contracted Gaussian-type orbitals (cGTOs). A complete set of rovibrational spectroscopic consts. for each species was calcd. using second-order perturbation theory. For BF₃ the CCSD(T) equil. bond distance is larger than the exptl. value by 0.0058 Å, and the fundamental frequencies are within 5 cm⁻¹ of expt., except for v₁, which shows a deviation of 16 cm⁻¹. The CCSD(T) method yields vibration-rotation interaction consts. α_{ij} in excellent agreement with available exptl. values (within 3 MHz). The CCSD(T) bond distance of CF₃⁺ is 1.2305 Å with a basis set of 220 cGTOs, which is cor. to 1.2272 Å by applying a correction derived from the identical level of calen. on BF₃. The fundamental frequencies v₁, v₂, v₃, and v₄ for CF₃⁺ are predicted to be 1044 cm⁻¹, 813 cm⁻¹, 1683 cm⁻¹, and 593 cm⁻¹, resp.

Chem. NOCH₃,

D_i



① *CF₃⁺*

C.A. 1997, 127, NL

BF_3

Om 38726

1997

Youngshang Pak and R. Claude
Woods,

M.N.

J. Chem. Phys., 1997, 106(15),
6424 - 6427..

1999

F: BF₃

P: 3

132:70733 The vibrational spectra of the boron halides and their molecular complexes: Part 7. Ab initio predictions of the infrared spectra of the complexes of boron trifluoride with some linear nitrogen donors.

Nxumalo, M.; Andrzejak, M.; Ford, T. A.

Soweto Campus, Department of Chemistry, Vista University Bertsham, S. Afr. J. Mol. Struct., 509(1-3), 287-295 (English) 1999 The IR spectra of the 1:1 mol. complexes of BF₃ with 5 linear N-contg. electron donors (N₂, HCN, CNF, C₂N₂, and HC₃N) were

C.A.2000, 132

computed by a series initio MO calcns., at the 2nd order level of Moller-Plesset perturbation using the 6-31G** basis set. This work extends the calcns. of the struct energetics, and Mulliken at. charges of the same series of complexes, rep earlier. The vibrational properties, specifically the complex-monomer wavenumber shifts and the B.cndot..cndot..cndot.N stretching and BF₃ librational wavenumbers and their assocd. force consts., were correlated the computed interaction energies, cor. for basis set superposition error for zero-point energy difference.

F: BF₃

P: 3

1999

132:70733 The vibrational spectra of the boron halides and their molecular complexes: Part 7. Ab initio predictions of the infrared spectra of the complexes of boron trifluoride with some linear nitrogen donors. Nxumalo, L. M.; Andrzejak, M.; Ford, T. A. Soweto Campus, Department of Chemistry, Vista University Bertsham, S. Afr.

J. Mol. Struct., 509(1-3), 287-295 (English)
1999 The IR spectra of the 1:1 mol. complexes of BF₃ with 5 linear N-contg. electron donors (N₂, HCN, CNF, C₂N₂, and HC₃N) were computed by a series of ab initio MO calcns., at the 2nd order level of Moller-

C.4.2000, 132

Plessset perturbation theory, using the 6-31G** basis set. This work extends the calcns. of the structures, energetics, and Mulliken at. charges of the same series of complexes, reported earlier. The vibrational properties, specifically the complex-monomer wavenumber shifts and the B.cndot..cndot..cndot.N stretching and BF₃ librational wavenumbers and their assocd. force consts., were correlated with the computed interaction energies, cor. for basis set superposition error and for zero-point energy difference.

F: BF3

P: 3

132:173251 Photoionization studies of BF3 using synchrotron radiation. Ch Yang; Li, Quanxin; Pei, Linsen; Chen, Congxiang; Yu, Shuqin; Ma, Xingxiao Gao, Hui; Qi, Fei; Sheng, Liusi; Zhang, Yunwu

Department of Chemical Physics, University of Science and Technology of China, Open Laboratory of Band-Selective Chemistry, Chinese Academy of Sciences Hefei 230026, Peop. Rep. China

Huaxue Wuli Xuebao, 12(6), 641-645

(Chinese) 1999 Photoionization and photodissocn. of BF3 were investigated under the supersonic beam conditions using synchrotron

C.A.2000, 132

radiation light source at 50 nm. The PIE curves of BF₃⁺ and BF₂⁺ were obtained, in which some series autoionization structures were obsd. in the range of 50-80 nm. It is suggested that these structures are due to the transition from BF₃ ground state to ns, np and nd Rydberg states. The spectral parameters of these Rydberg states were obtained from spectral anal. Dissocn. dynamics of BF was discussed by comparing the difference of BF₃⁺ and BF₂⁺ PIE curves. Photoionization is the main process for ns Rydberg series of BF₃ mol. Photodissocn. is the main process for np, nd Rydberg series of BF₃ mol.

BF_3

(Om 41836)

2003

McLain S.E.,
amp-pa J.T. Siemssen et al.,

J. Chem. Phys., 2003,

119, N13, 6671-6679.

On the st  necture of 80 to-

iron trifluoride in liquid
and supercritical phase.
investigated with neutron
diffraction.